

# Billards Dispersifs

Théo Denorme, Thomas Morand, Alexandre Poncin

Encadré par Damien Thomine

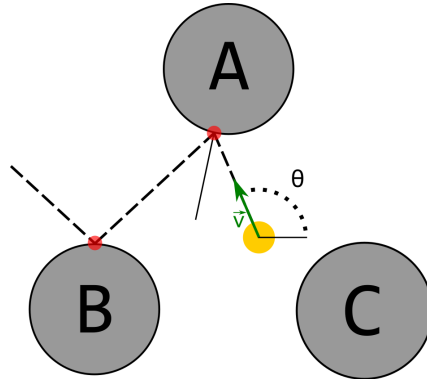
2021

## Sommaire

|          |                                                                     |           |
|----------|---------------------------------------------------------------------|-----------|
| <b>1</b> | <b>Introduction du système étudié</b>                               | <b>2</b>  |
| <b>2</b> | <b>Sous-décalages de type fini</b>                                  | <b>6</b>  |
| 2.1      | Espace métrique $\Sigma_p^+$ . . . . .                              | 6         |
| 2.2      | Décalages unilatères . . . . .                                      | 8         |
| 2.3      | Quelques propriétés sur les matrices de transition . . . . .        | 12        |
| 2.4      | Décalages bilatères . . . . .                                       | 16        |
| <b>3</b> | <b>Homéomorphisme entre <math>K</math> et <math>\Sigma_A</math></b> | <b>17</b> |
| 3.1      | Détermination des suites périodiques . . . . .                      | 17        |
| 3.2      | Conjugaison de $(K, T)$ et $(\Sigma_{A_3}, \sigma_{A_3})$ . . . . . | 20        |
| 3.3      | Mélange topologique . . . . .                                       | 22        |
| <b>4</b> | <b>Coefficients de Lyapunov</b>                                     | <b>23</b> |
| 4.1      | Espace des phases . . . . .                                         | 23        |
| 4.2      | Calcul des coefficients de Lyapunov . . . . .                       | 27        |
| <b>A</b> | <b>Codage de <math>T</math></b>                                     | <b>33</b> |
| <b>B</b> | <b>Détermination des trajectoires périodiques</b>                   | <b>42</b> |
| <b>C</b> | <b>Calcul du coefficient de Lyapunov</b>                            | <b>50</b> |

# 1 Introduction du système étudié

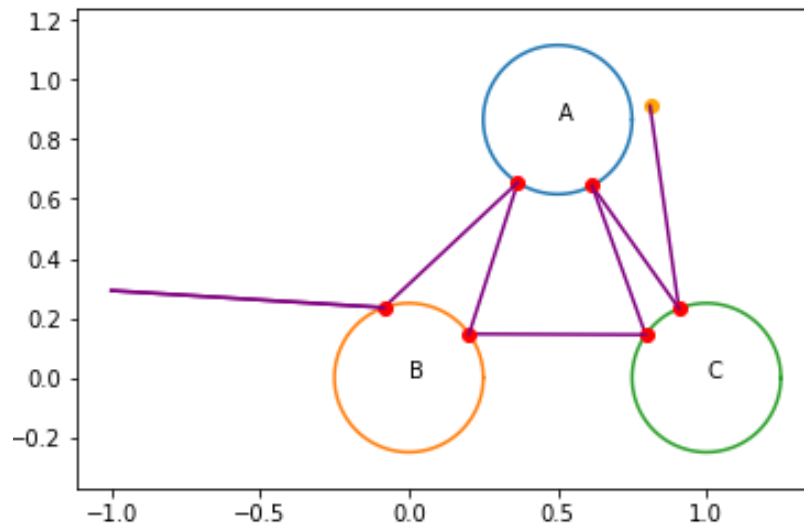
Le sujet de ce projet est d'étudier le comportement d'une particule évoluant dans  $Q$ , ensemble fermé de  $\mathbb{R}^2$  comportant 3 obstacles circulaires A, B et C de rayon identique  $a$  (voir [GR89]). La particule se déplace à vitesse unitaire, constante à l'intérieur de  $Q$  et obéit aux lois de la réflexion lorsqu'elle percute  $\partial Q$ .



L'espace des phases pour notre particule est donc  $P = \{(q, \vec{v})\}$ , dont la position des points est située à l'extérieur des disques, c'est à dire vérifiant :  $(x - x_i)^2 + (y - y_i)^2 \geq a^2$ , si l'on note  $(x_i, y_i)$  le centre du  $i$ -ième cercle. La vitesse de notre particule étant unitaire, la vitesse est donnée par  $\theta \in ]-\pi, \pi]$ , tel que  $v_x = \cos \theta$  et  $v_y = \sin \theta$ . Le système est donc à 3 degrés de libertés.

Pour comprendre notre système, on va s'intéresser aux moments où la particule percute les obstacles. Posons alors  $\Omega := \{x \in P \mid q \in \partial Q, \langle \vec{v}, \vec{n}(q) \rangle \geq 0\} = \bigcup_{C \in \{A, B, C\}} \partial C \times [-\pi/2, \pi/2]$

l'ensemble des phases après que la particule ait percuté un des obstacles, et qui est équivalent à la donnée d'un point du bord et d'un angle mesuré par rapport à la normale, dont on note  $\vec{n}(q)$  le vecteur normal à  $\partial Q$  au point  $q$  unitaire rentrant dans  $Q$ .

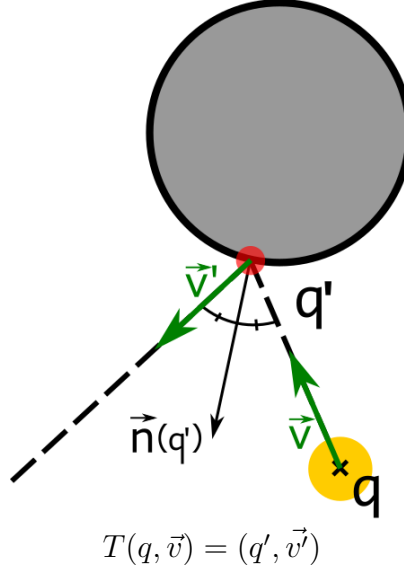


Simulation de rebonds sur les obstacles avec python (Voir code A).

Définissons ensuite l'application  $\tau : \Omega \rightarrow ]0, +\infty]$  qui donne la distance parcourue avant la collision avec le prochain obstacle. Nous pouvons définir ensuite sur un sous-ensemble de  $\Omega$  l'application  $T$  qui à une configuration après un choc associe, si elle existe, la configuration au choc suivant :

$$T : F \rightarrow \Omega \quad \text{avec } q' = q + \tau(x)\vec{v} \text{ et } \vec{v}' = \vec{v} - 2\langle \vec{v}, \vec{n}(q') \rangle \vec{n}(q')$$

Avec  $F := \tau^{-1}(]0, +\infty[)$  le sous-ensemble où  $T$  est bien défini.



L'ensemble des trajectoires est alors représenté par les suites  $(T^k(x))_{m(x) \leq k \leq M(x)}$  avec  $m(x) := \inf\{k \in \mathbb{Z} : T^k(x) \text{ est bien défini}\}$  et  $M(x) := \sup\{k \in \mathbb{Z} : T^k(x) \text{ est bien défini}\}$

On définit alors l'espace récurrent  $K$  comme le sous ensemble de  $F$  des phases pouvant effectuer un nombre infini de rebonds dans le passé comme dans le futur :

$$K := \{x \in F \mid m(x) = -\infty \text{ et } M(x) = +\infty\}$$

**Définition 1.** *Condition de non éclipse :*  
Aucune droite n'intersecte plus de 2 obstacles.

Par la suite, nous nous plaçons dans cette condition de non éclipse.

**Définition 2.** On définit l'ensemble  $F_C$  inclus dans  $\Omega$  avec  $C$  un obstacle comme  $F_C = \{(q = (q_1, q_2), \vec{v} = (v_1, v_2)) \in F \text{ tel que } |v_2 \times (c_1 - q_1) - v_1 \times (c_2 - q_2)| \leq a \text{ et } v_1 \times (c_1 - q_1) + v_2 \times (c_2 - q_2) \geq 0\}$

**Proposition 1.** Pour tout obstacle  $C$ , pour tout  $x \in F$ ,  $x \in F_C$  si et seulement si le prochain obstacle rencontré par la phase  $x$  est l'obstacle  $C$ .

*Preuve.* Soit  $(q, \vec{v}) = ((q_1, q_2), (v_1, v_2)) \in F$ .

La phase  $(q, \vec{v})$  peut rencontrer au plus un obstacle. Elle rencontre l'obstacle C si et seulement si la paramétrisation de sa droite rencontre le bord de C dans un temps futur.

On paramétrise sa trajectoire rectiligne par  $t \in \mathbb{R} \mapsto q + t\vec{v}$ , ce qui nous permet d'obtenir une condition nécessaire pour avoir une collision avec C :

$$\begin{aligned}
& \text{la droite induite par la trajectoire de la phase } (q, \vec{v}) \text{ rencontre l'obstacle } C \\
& \iff \exists t \in \mathbb{R}, (c_1 - q_1 - t \times v_1)^2 + (c_2 - q_2 - t \times v_2)^2 = a^2 \\
& \iff \exists t \in \mathbb{R}, t^2(v_1^2 + v_2^2) - t \times 2((c_1 - q_1)v_1 + (c_2 - q_2)v_2) + (c_1 - q_1)^2 + (c_2 - q_2)^2 - a^2 = 0 \\
& \iff \exists t \in \mathbb{R}, t^2 - t \times 2((c_1 - q_1)v_1 + (c_2 - q_2)v_2) + (c_1 - q_1)^2 + (c_2 - q_2)^2 - a^2 = 0 \text{ (car } v_1^2 + v_2^2 = 1) \\
& \iff (2((c_1 - q_1)v_1 + (c_2 - q_2)v_2))^2 - 4 \times ((c_1 - q_1)^2 + (c_2 - q_2)^2 - a^2) \geq 0 \\
& \iff (c_1 - q_1)^2(v_1^2 - 1) + (c_2 - q_2)^2(v_2^2 - 1) + 2v_1v_2(c_1 - q_1)(c_2 - q_2) + a^2 \geq 0 \\
& \iff a^2 \geq (c_1 - q_1)^2v_2^2 + (c_2 - q_2)^2v_1^2 - 2v_1v_2(c_1 - q_1)(c_2 - q_2) \text{ (car } v_1^2 + v_2^2 = 1) \\
& \iff a^2 \geq ((c_1 - q_1)v_2 - (c_2 - q_2)v_1)^2 \\
& \iff a \geq |(c_1 - q_1)v_2 - (c_2 - q_2)v_1|
\end{aligned}$$

La phase rencontrera effectivement l'obstacle C si et seulement si la droite induite par la trajectoire de la phase  $(q, \vec{v})$  rencontre l'obstacle C dans le futur (avec la paramétrisation définie ci dessus).

Or comme  $q \in Q$  (il n'est pas à l'intérieur de l'obstacle C), si le polynome précédent admet 2 racines, elles seront soit toutes les 2 positives, soit toutes les deux négatives. On peut donc se contenter de calculer la moyenne de ces deux racines pour en obtenir le signe.

On trouve alors la condition  $((c_1 - q_1)v_1 + (c_2 - q_2)v_2) \geq 0$ .  $\square$

*Remarque.* Cette caractérisation de  $F_C$ , pour C un obstacle, nous montre, en particulier, que ces espaces sont 2 à 2 disjoints.

**Lemme 1.** *Pour tout obstacle C, pour tout  $(q, \vec{v}) \in F_C$ ,  $\tau(q, \vec{v})$  est égale à la plus petite racine de  $(c_1 - q_1 - tu_1)^2 + (c_2 - q_2 - tu_2)^2 = a^2$ , c'est donc une fonction continue sur  $F_C$*

*Preuve.* Soit C un obstacle, soit  $(q, \vec{v}) \in F_C$ ,  $\tau(q, \vec{v}) = \inf\{s > 0 : q + s\vec{v} \in \partial Q\}$ , c'est donc la plus petite racine de  $(c_1 - q_1 - tu_1)^2 + (c_2 - q_2 - tu_2)^2 = a^2$  qui est  $t = ((c_1 - q_1)v_1 + (c_2 - q_2)v_2) - \sqrt{(q_{n,1}, q_{n,2}, u_{n,1}, u_{n,2})^2 - (c_1 - q_1)^2 + (c_2 - q_2)^2 - a^2}$  c'est donc une fonction continue en les variables  $(q_{n,1}, q_{n,2}, u_{n,1}, u_{n,2})$   $\square$

**Proposition 2.** *L'ensemble F est fermé*

*Preuve.* Soit  $(q_n, \vec{u}_n)_{n \in \mathbb{N}} \in F^{\mathbb{N}}$  tel que  $(q_n, \vec{u}_n) \xrightarrow{n \rightarrow +\infty} (q, \vec{u}) \in \Omega$

Quitte à extraire une sous suite, comme le nombre d'obstacle est fini, on peut supposer qu'il existe un obstacle C, tel que pour tout  $n \in \mathbb{N}$ ,  $(q_n = (q_{n,1}, q_{n,2}), \vec{u}_n = (u_{n,1}, u_{n,2})) \in F_C$ .

Si on note  $c = (c_1, c_2)$  le centre de C, alors pour tout  $n \in \mathbb{N}$ ,  $\tau(q_n, \vec{v}_n)$  converge vers  $t_\infty$  (car  $\tau$  est continue sur  $F_C$ ) qui est une racine positive de  $(c_1 - q_1 - tu_1)^2 + (c_2 - q_2 - tu_2)^2 = a^2$  donc  $(q, \vec{u}) \in F_C \subset F$ .

F est donc fermé.  $\square$

**Lemme 2.** *Pour tout obstacle  $C$ ,  $F_C$  est compact.*

*Preuve.* • Commençons par montrer que  $F_C$  est un fermé de  $F$

Soit un obstacle  $C$ ,  $F_C = \{(q = (q_1, q_2), \vec{v}) \in F \text{ tel que } |v_2 \times (c_1 - q_1) - v_1 \times (c_2 - q_2)| \leq R \text{ et } v_1 \times (c_1 - q_1) + v_2 \times (c_2 - q_2) \geq 0\} = f^{-1}([0, R]) \cap g^{-1}([0, +\infty])$  avec  $f(q, \vec{v}) = |v_2 \times (c_1 - q_1) - v_1 \times (c_2 - q_2)|$  et  $g(q, \vec{v}) = v_1 \times (c_1 - q_1) + v_2 \times (c_2 - q_2)$ , deux fonctions continues sur  $F$ .

•  $F$  est un fermé et pour tout obstacle  $C$ ,  $F_C$  est un fermé de  $F$ . Donc  $F_C$  est un fermé pour tout obstacle  $C$ .

•  $\Omega$  est borné donc  $F_C$  est un compact pour tout obstacle  $C$ .

□

**Lemme 3.**  *$\tau$  est continue sur  $F$*

*Preuve.*  $\tau$  est continue sur  $F_C$  pour tout obstacle  $C$ .

Or les espaces  $F_C$  sont disjoints et compacts donc ils sont à distance strictement positive les uns des autres.

Donc  $\tau$  est continue sur  $F$ .

□

**Proposition 3.**  *$T$  est une fonction continue et bijective sur son image.*

*Preuve.* • Soit  $(q, \vec{v}), (q', \vec{u}) \in F$  tel que  $T(q, \vec{v}) = T(q', \vec{u})$ . On pose  $(q'', \vec{w}) = T(q, \vec{v}) = T(q', \vec{u})$

Notons  $s = \tau(q, \vec{v})$  et  $t = \tau(q', \vec{u})$ .

Alors  $\vec{w} = \vec{v} - 2\langle \vec{v}, \vec{n}(q'') \rangle \vec{n}(q'') = \vec{u} - 2\langle \vec{u}, \vec{n}(q'') \rangle \vec{n}(q'')$ .

Donc  $\langle \vec{w}, \vec{n}(q'') \rangle = -\langle \vec{v}, \vec{n}(q'') \rangle = -\langle \vec{u}, \vec{n}(q'') \rangle$

Et  $\langle \vec{w}, \vec{n}(q'')^\perp \rangle = \langle \vec{v}, \vec{n}(q'')^\perp \rangle = \langle \vec{u}, \vec{n}(q'')^\perp \rangle$  (car  $\vec{n}(q'')$  est unitaire).

Donc  $\vec{v} = \vec{u}$  (car leurs coordonnées sont égales dans la base  $(\vec{n}(q''), \vec{n}(q'')^\perp)$ ).

Et  $q'' = q + s\vec{v} = q' + t\vec{u}$ .

Or  $\vec{v} = \vec{u}$  donc  $q - q' = (t - s)\vec{u}$ .

Supposons  $s \neq t$ , sans perdre de généralité, prenons  $t > s$ .

Or par définition de  $\tau(y, \vec{u})$ ,  $t = \inf\{\tilde{s} > 0 : q' + \tilde{s}\vec{u} \in \partial Q\}$ .

Mais  $q' + (t - s)\vec{u} = q \in \partial Q$  et  $t - s < t$ , c'est donc absurde, ainsi  $s = t$  et donc  $q = q'$ .

$T$  est donc bijective sur son image.

• Soit  $(q, \vec{v}) \in F$

$T(q, \vec{v}) = (q', \vec{v}')$  avec  $q' = q + \tau(x)\vec{v}$  et  $\vec{v}' = \vec{v} - 2\langle \vec{v}, \vec{n}(q') \rangle \vec{n}(q')$

$T$  est continue comme produit et composition de fonctions continues car par le lemme 3,  $\tau$  est continue.

□

**Proposition 4.** *L'ensemble récurrent  $K$  est métrisable et compact.*

*Preuve.*  $K$  est un sous-ensemble de  $\Omega$  donc il est métrisable.

Montrons à présent que  $K$  est fermé dans  $\Omega$ :

Soit  $(x_n)_{n \in \mathbb{N}} \in K^{\mathbb{N}}$  tel que :

$$x_n \xrightarrow[n \rightarrow \infty]{} x \in \Omega$$

Supposons que  $M(x) = k \in \mathbb{N}$ , ainsi  $T^{k+1}(x)$  n'est pas défini.

$T$  étant continue sur  $F$ , elle l'est aussi sur  $K$  et donc  $T^k$  est continue sur  $K$ , ainsi:

$$T^k(x_n) \in F \xrightarrow[n \rightarrow \infty]{} T^k(x) \in F \text{ car } F \text{ est fermé.}$$

Donc  $T^{k+1}(x)$  est bien défini, ce qui contredit le fait que  $M(x) = k$ .

Alors on a bien  $M(x) = +\infty$ . Supposons maintenant que  $m(x) = l \in \mathbb{Z}_-$ , ainsi  $T^{l-1}(x)$  n'est pas défini.

Pour  $x = (q, \vec{v})$ , on pose:

$$\forall n \in \mathbb{N}, x_n := (q_n, \vec{v}_n)$$

$$\forall n \in \mathbb{N}, x'_n := (q_n, -\vec{v}_n + 2\langle \vec{v}_n, \vec{n}(q_n) \rangle \vec{n}(q_n)) \text{ (on "renverse le temps")}$$

Nous avons alors ici:

$$x'_n \xrightarrow[n \rightarrow \infty]{} x' = (q, -\vec{v} + 2\langle \vec{v}, \vec{n}(q) \rangle \vec{n}(q)) \in \Omega \text{ (par continuité de } x \rightarrow x')$$

De plus on a bien :

$$\forall n \in \mathbb{N}, T(x_n) = T^{-1}(x'_n), \text{ ainsi:}$$

$$T^{-l}(x'_n) \in F \xrightarrow[n \rightarrow \infty]{} T^{-l}(x') \in F \text{ car } F \text{ est fermé et } T^{-l} \text{ continue.}$$

Donc  $T^{1-l}(x') = T^{l-1}(x)$  est bien défini, ce qui contredit le fait que  $m(x) = l$ .

Alors  $m(x) = -\infty$ , d'où  $x$  appartient à  $K$ .

Ainsi  $K$  est un fermé de  $\Omega$  qui est borné dans  $\mathbb{R}^3$ , donc enfin  $K$  est compact. □

## 2 Sous-décalages de type fini

Dans la partie suivante, nous allons nous ramener à l'étude des sous-décalages de type fini. Pour cela, on introduit dans un premier temps le vocabulaire des langages, puis la topologie de l'espace des suites indexées par  $\mathbb{N}$ , on introduit la notion de matrice de transition et on finit en généralisant les résultats aux suites indexées par  $\mathbb{Z}$ .

Nous allons maintenant étudier la théorie des sous-décalages de type fini (voir [Rob95]) afin de préparer la partie suivante où nous regarderons le système  $(K, T)$  à travers  $\Sigma_A$ .

### 2.1 Espace métrique $\Sigma_p^+$

Le problème requiert d'étudier quelques notions de dynamique symbolique. On introduit donc la notion de sous-décalage (voir [Che11]).

**Définition 3.** Soit  $\mathcal{A}$  un ensemble fini. On dit que  $\mathcal{A}$  est l'**alphabet** et que les **lettres** sont les éléments de cet alphabet. Un **mot** de  $\mathcal{A}$  est une suite finie de lettres et on note  $|w|$  la longueur d'un mot. On note  $\mathcal{A}^*$  l'ensemble des mots de  $\mathcal{A}$  de longueur finie et  $\mathcal{A}^+$  l'ensemble  $\mathcal{A}^*$  dépourvu du mot vide. On définit la **concaténation** comme l'opération interne sur  $\mathcal{A}^*$ , notée comme un produit, qui à  $a = a_1 a_2 \dots a_k$  et  $b = b_1 b_2 \dots b_{k'}$  associe  $ab = a_1 a_2 \dots a_k b_1 b_2 \dots b_{k'}$ .

**Définition 4.** On munit les espaces  $\mathcal{A}^{\mathbb{N}}$  de la topologie produit,  $\mathcal{A}$  étant muni de la topologie discrète.

Soit  $i_1 < i_2 < \dots < i_k$  des entiers et  $a_1, a_2, \dots, a_k$  des éléments de  $\mathcal{A}$ . Le cylindre  $[(i_1, a_1), (i_2, a_2), \dots, (i_k, a_k)]$  est la partie de  $\mathcal{A}^{\mathbb{N}}$  dont les éléments  $s$  vérifient  $s_{i_1} = a_1, \dots, s_{i_k} = a_k$ . Si  $w = w_1 \dots w_k \in \mathcal{A}^*$ , on note  $[w, n]$  le cylindre  $[(n, w_1), (n+1, w_2), \dots, (n+k-1, w_k)]$  et  $[w]$  désigne  $[w, 0]$ .

**Lemme 4.** 1. Les cylindres sont ouverts et fermés

2. Les cylindres forment une base de la topologie de  $\mathcal{A}^{\mathbb{N}}$ .

*Preuve.* 1. Un cylindre  $[(i_1, a_1), (i_2, a_2), \dots, (i_k, a_k)]$  est de la forme  $\mathcal{A} \times \dots \times \mathcal{A} \times \{a_1\} \times \mathcal{A} \times \dots \times \mathcal{A} \times \{a_k\} \times \mathcal{A} \times \dots$  avec  $\mathcal{A}$  et les  $\{a_i\}$  ouverts et fermés pour la topologie discrète, donc ce cylindre est ouvert et fermé par définition de la topologie produit.

2. Une base de la topologie produit est  $\{\mathcal{A}^{k_1} \times U_1 \times \mathcal{A}^{k_2} \times \dots \times U_{n-1} \times \mathcal{A}^{k_n} \times U_n \times \mathcal{A}^{\mathbb{N}}, n, k_1, k_2, \dots, k_n \in \mathbb{N}, U_1, U_2, U_2, \dots, U_n \subset \mathcal{A}\}$ . Comme les cylindres sont inclus dans cet ensemble (en prenant des singletons pour les  $U_i$ ), il ne reste qu'à montrer que cette base est engendrée par les cylindres. Si  $U = \mathcal{A} \times \dots \times U_1 \times \dots \times U_n \times \dots \times \mathcal{A} \times \dots$  avec  $U_i$  à l'emplacement  $k_i$  dans le produit, alors  $U = \bigcup_{(w_1, w_2, \dots, w_n) \in \prod_{i=1}^n U_i} [(k_1, w_1), \dots, (k_n, w_n)]$  est bien une union de cylindres.  $\square$

**Proposition 5.** Cet espace est métrisable et on peut le munir d'une distance ultramétrique définie pour tout  $s, t \in \mathcal{A}^{\mathbb{N}}$  par :

$$d(s, t) = 2^{-\inf\{k \in \mathbb{N} : s_k \neq t_k\}} \text{ avec } \inf \emptyset = +\infty$$

*Preuve.* Montrons que  $d$  est une distance sur  $\mathcal{A}^{\mathbb{N}}$ .

Soit  $s, t \in \mathcal{A}^{\mathbb{N}}$  tel que  $d(s, t) = 0$ . Alors  $\{k \in \mathbb{N} : s_k \neq t_k\} = \emptyset$  (sinon  $2^{-\inf\{k \in \mathbb{N} : s_k \neq t_k\}} > 0$ ), donc  $s = t$ .  $d$  est bien définie.

Soit  $s, t \in \mathcal{A}^{\mathbb{N}}$ . Alors  $d(s, t) = 2^{-\inf\{k \in \mathbb{N} : s_k \neq t_k\}} = d(t, s)$ . Donc  $d$  est symétrique.

Montrons maintenant l'inégalité ultratriangulaire :

Soit  $u, s, t \in \mathcal{A}^{\mathbb{N}}$ . Si  $s = t$ , alors  $d(s, t) = 0 \leq \max(d(s, u), d(u, t))$ . Sinon si  $s \neq t$ , on note  $k_0 = \inf\{k \in \mathbb{N} : s_k \neq t_k\}$ , tel que  $s_{k_0} \neq t_{k_0}$ . Mais alors soit  $s_{k_0} \neq u_{k_0}$ , soit  $u_{k_0} \neq t_{k_0}$ . Donc soit  $\inf\{k \in \mathbb{N} : s_k \neq u_k\} \leq k_0$ , soit  $\inf\{k \in \mathbb{N} : u_k \neq t_k\} \leq k_0$ . On a alors bien  $d(s, t) = 2^{-\inf\{k \in \mathbb{N} : s_k \neq t_k\}} \leq \max(d(s, u), d(u, t))$ .

Montrons maintenant que la topologie métrique induite par  $d$  est la topologie produit. Soit  $B(s, r)$  avec  $s \in \mathcal{A}^{\mathbb{N}}$  et  $r > 0$  une boule ouverte de  $\mathcal{A}^{\mathbb{N}}$ . Alors

$$\begin{aligned} B(s, r) &= \{t \in \mathcal{A}^{\mathbb{N}} \mid 2^{-\inf\{k \in \mathbb{N} : s_k \neq t_k\}} < r\} \\ &= \{t \in \mathcal{A}^{\mathbb{N}} \mid \inf\{k \in \mathbb{N} : s_k \neq t_k\} > -\log_2(r)\} \\ &= \{t \in \mathcal{A}^{\mathbb{N}} \mid \forall k \leq -\log_2(r), s_k = t_k\} \\ &= [w] \text{ avec } w = s_0 s_1 \dots s_{[-\log_2(r)]} \end{aligned}$$

Comme les cylindres forment une base de  $\mathcal{A}^{\mathbb{N}}$ , les ouverts de la topologie métrique sont des ouverts pour la topologie produit.

Soit  $C = [(i_1, a_1), (i_2, a_2), \dots, (i_k, a_k)]$  avec  $i_1 < i_2 < \dots < i_k$  et  $a_1, \dots, a_k$  dans  $\mathcal{A}$  un cylindre de  $\mathcal{A}^{\mathbb{N}}$ . Soit  $s \in C$ . Alors  $B(s, 2^{-i_k}) = \{t \in \mathcal{A}^{\mathbb{N}} \mid d(s, t) < 2^{-i_k}\} = [s_0 s_1 \dots s_{i_k}] \subset C$  donc  $C$  est ouvert pour la topologie métrique.

Les deux topologies sont donc équivalentes.  $\square$

**Proposition 6.**  $\mathcal{A}^{\mathbb{N}}$  est compact.

*Preuve.* Il s'agit du théorème de Tychonov sur le produit de compacts  $(\mathcal{A})_{n \in \mathbb{N}}$   $\square$

**Définition 5.** Soit  $p \geq 2$ . On définit l'espace  $\Sigma_p^+$  comme l'ensemble  $\mathcal{A}^{\mathbb{N}}$  lorsque  $\mathcal{A} = \{1, \dots, p\}$ .

On munit  $\Sigma_p^+$  de  $\sigma$ , définie par  $\sigma(s) = t$  tel que pour tout  $k \in \mathbb{N}$   $t_k = s_{k+1}$ .

**Proposition 7.**  $\sigma$  est 2-lipschitzienne. En particulier,  $\sigma$  est continue.

*Preuve.* Soit  $s, t \in \Sigma_p^+$ .

Si  $s = t$ , alors pour tout  $k \in \mathbb{N}$ ,  $\sigma(s)_k = s_{k+1} = t_{k+1} = \sigma(t)_k$ . Ainsi  $\sigma(s) = \sigma(t)$ . Donc  $d(\sigma(s), \sigma(t)) = 0 \leq 2 \times d(s, t) = 0$

Sinon  $s \neq t$ , on note alors  $k_0 = \inf\{k \in \mathbb{N} : s_k \neq t_k\}$ .

Donc pour tout  $k \leq k_0 - 2$ ,  $\sigma(s)_k = s_{k+1} = t_{k+1} = \sigma(t)_k$  (car  $k + 1 < k_0$ ).

Alors  $\inf\{k \in \mathbb{N} : \sigma(s)_k \neq \sigma(t)_k\} \geq k_0 - 1$ , donc  $d(\sigma(s), \sigma(t)) = 2^{-\inf\{k \in \mathbb{N} : \sigma(s)_k \neq \sigma(t)_k\}} \leq 2^{-(k_0-1)} \leq 2 \times 2^{-k_0} \leq 2 \times 2^{-\inf\{k \in \mathbb{N} : s_k \neq t_k\}} \leq 2d(s, t)$   $\square$

## 2.2 Décalages unilatères

**Définition 6.** 1. Une matrice de taille  $p \times p$  est une **matrice de transition** si ses coefficients sont dans  $\{0, 1\}$ , si pour tout  $i \in \{1, \dots, p\}$ ,  $\sum_{j=1}^p a_{i,j} \geq 1$  (pour chaque état  $i$ , il existe au moins une transition autorisée par  $A$  de cet état vers un état  $j$ , c'est à dire tel que  $a_{i,j} = 1$ ) et si pour tout  $j \in \{1, \dots, p\}$ ,  $\sum_{i=1}^p a_{i,j} \geq 1$  (pour chaque état  $j$ , il existe au moins une transition autorisée par  $A$  d'un état  $i$  vers cet état, c'est à dire tel que  $a_{i,j} = 1$ ).

2. Un mot  $s = s_0 s_1 \dots s_n$  de  $\{1, \dots, p\}^*$  est dit **admissible** ou **autorisé par  $A$**  si  $\forall k \in \{0, \dots, n-1\}$ ,  $a_{s_k, s_{k+1}} = 1$ .

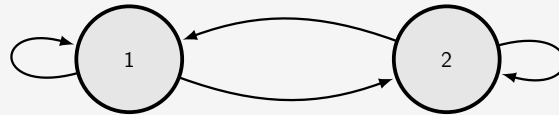
3. Soit  $A = (a_{i,j})_{(i,j) \in \{1, \dots, p\}^2}$  une matrice de transition de taille  $p \times p$ , on définit alors l'ensemble  $\Sigma_A^+$  par  $\{s \in \Sigma_p^+ : \forall k \in \mathbb{N}, a_{s_k, s_{k+1}} = 1\}$ .

*Remarque.* L'intérêt de la condition  $\sum_{j=1}^p a_{i,j} \geq 1$  dans 1. est de pouvoir compléter par la droite un mot fini autorisé par  $A$  en un mot infini de  $\Sigma_A$ , la condition  $\sum_{i=1}^p a_{i,j} \geq 1$  permet de compléter un mot par la gauche.

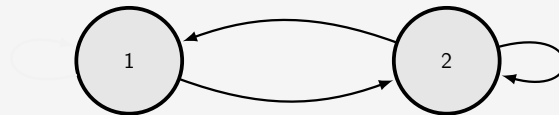


**Exemple.**  $A_1 = \begin{pmatrix} 1 & 1 \\ 1 & 1 \end{pmatrix}$ ,  $A_2 = \begin{pmatrix} 0 & 1 \\ 1 & 1 \end{pmatrix}$  et  $A_3 = \begin{pmatrix} 0 & 1 & 1 \\ 1 & 0 & 1 \\ 1 & 1 & 0 \end{pmatrix}$  sont des matrices de transition. La matrice  $A_2$  est appelée matrice de Fibonacci, et la matrice  $A_3$  est la matrice associée à notre système.

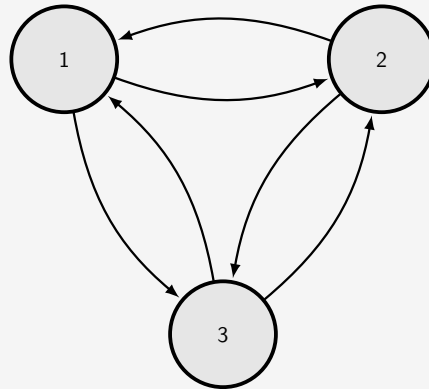
*Remarque.* Les matrices de transitions se représentent sous la forme d'un graphe dont les sommets sont les états  $\{1, \dots, p\}$  et les arêtes (orientées) sont les transitions autorisées par  $A$  :



Représentation graphique de  $A_1$



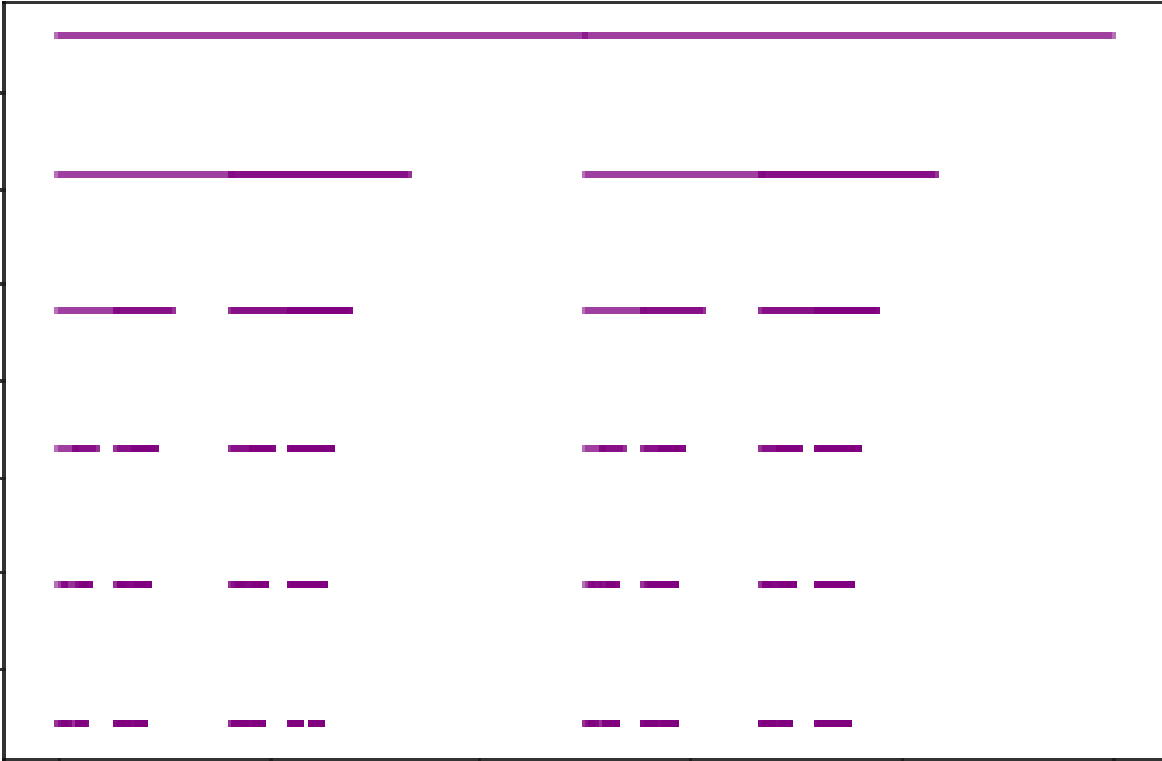
Représentation graphique de  $A_2$



Représentation graphique de  $A_3$

Nous pouvons aussi représenter  $\Sigma_A$  avec un ensemble de Cantor  $C_A$ , inclus dans le segment  $[0, 1]$ . En effet, si  $A$  est une matrice de dimension  $p \times p$ , un élément  $(s_n)_{n \in \mathbb{N}}$  de  $\Sigma_A$  peut être codé par la décomposition p-adique d'un élément de  $[0, 1]$ , autrement dit on définit:

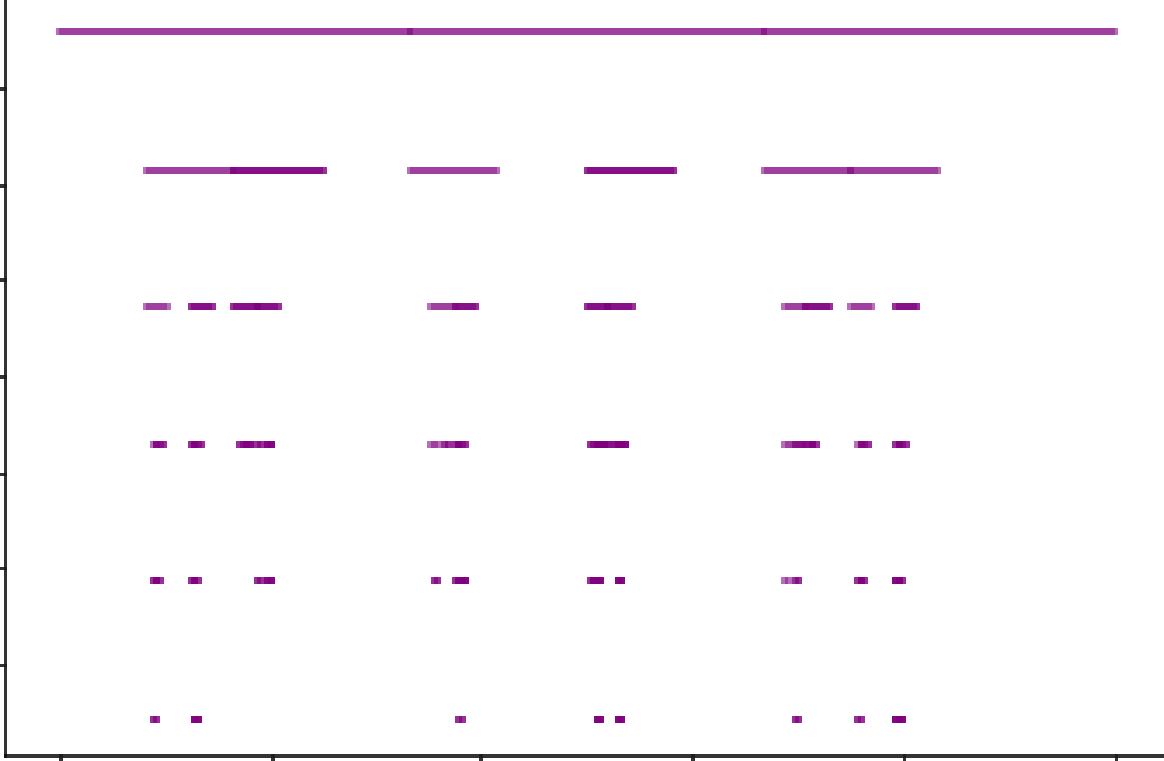
$$C_A = \left\{ \sum_{k=0}^{\infty} \frac{(s_k - 1)}{(p+1)^{k+1}} \mid (s_k)_{k \in \mathbb{N}} \in \Sigma_A \right\}$$



Construction de l'espace de Cantor  $C_{A_1}$



Construction de l'espace de Cantor  $C_{A_2}$



Construction de l'espace de Cantor  $C_{A_3}$

**Proposition 8.** 1.  $\Sigma_A^+$  est fermé dans  $\Sigma_p^+$

2.  $\sigma(\Sigma_A^+) = \Sigma_A^+$

*Preuve.* 1. Soit  $(s^n)_{n \in \mathbb{N}} \in (\Sigma_A^+)^{\mathbb{N}}$  tel que  $\lim_{n \rightarrow +\infty} s^n = s \in \Sigma_p^+$ . Montrons que  $s \in \Sigma_A^+$ .

Soit  $k \in \mathbb{N}$ , il existe  $n \in \mathbb{N}$  tel que  $d(s^n, s) < 2^{-(k+1)}$  car  $\lim_{n \rightarrow +\infty} s^n = s$ .

Alors en particulier  $s_k^n = s_k$  et  $s_{k+1}^n = s_{k+1}$  donc  $a_{s_k, s_{k+1}} = a_{s_k^n, s_{k+1}^n} = 1$ .

Ainsi  $s \in \Sigma_A^+$ .

2. Soit  $t \in \sigma(\Sigma_A^+)$ , alors il existe  $s \in \Sigma_A^+$  tel que  $t = \sigma(s)$ .

Donc pour tout  $k \in \mathbb{N}$ ,  $a_{t_k, t_{k+1}} = a_{\sigma(s)_k, \sigma(s)_{k+1}} = a_{s_{k+1}, s_{k+2}} = 1$  donc  $t \in \Sigma_A^+$ .

Réciproquement, soit  $s \in \Sigma_A^+$ .

Par définition d'une matrice de transition,  $\sum_{i=1}^p a_{i, s_0} \geq 1$ , donc il existe  $i_0 \in \{1, \dots, p\}$  tel que  $a_{i_0, s_0} = 1$ .

Posons  $t \in \Sigma_A^+$  tel que  $t_0 = i_0$  et pour tout  $k \in \mathbb{N}^*$ ,  $t_k = s_{k-1}$ .  $t$  appartient bien à  $\Sigma_A^+$  car  $a_{t_0, t_1} = a_{i_0, s_0} = 1$  et pour tout  $k \in \mathbb{N}^*$ ,  $a_{t_k, t_{k+1}} = a_{s_{k-1}, s_k} = 1$ .

De plus, pour tout  $k \in \mathbb{N}$ ,  $\sigma(t)_k = t_{k+1} = s_k$ . Donc  $\sigma(t) = s$

□

**Définition 7.** On définit  $\sigma_A : \Sigma_A^+ \rightarrow \Sigma_A^+$  comme la restriction de  $\sigma$  à  $\Sigma_A^+$ .

**Proposition 9.**  $\Sigma_A^+$  est compact

*Preuve.*  $\Sigma_A^+$  est fermé et inclus dans  $\Sigma_p^+$  compact donc  $\Sigma_A^+$  est compact.  $\square$

## 2.3 Quelques propriétés sur les matrices de transition

On peut obtenir de l'information sur  $\Sigma_A$  à partir de certaines propriétés de  $A$ . On énonce donc ici quelques propositions sur la matrice  $A$  pour se familiariser avec l'espace  $\Sigma_A$ . Ces propositions permettent aussi de motiver le choix de la définition de matrice de transition.

**Lemme 5.** Supposons que  $(A^k)_{ij} = n$ . Alors il y a  $n$  mots autorisés par  $A$  de longueur  $k + 1$  commençant par  $i$  et finissant par  $j$ .

*Preuve.* Notons  $c(k, i, j)$  le nombre de mots de longueur  $k + 1$  de  $i$  à  $j$ . Pour  $i, j$  dans  $\{1, \dots, p\}$ , il suffit donc de montrer par récurrence sur  $k \in \mathbb{N}$ ,  $H(k) : \forall i, j \in \{1, \dots, p\}, c(k, i, j) = (A^k)_{ij}$ . Si  $k = 1$ , alors  $c(k, i, j)$  vaut 1 si la transition de  $i$  à  $j$  est autorisée (le seul mot est  $ij$ ) et 0 sinon (pas de mot). On a bien  $c(k, i, j) = (A^k)_{ij}$ . Supposons que la propriété est vraie au rang  $k - 1 \geq 1$ . Alors par calcul matriciel,

$$\begin{aligned} (A^k)_{ij} &= \sum_l (A^{k-1})_{il} A_{lj} \\ &= \sum_l c(k-1, i, l) \times c(1, l, j) \\ &\quad (\text{par hypothèse de récurrence } H(k) \text{ et aussi } H(1)) \\ &= c(k, i, j). \end{aligned} \quad \square$$

Expliquons la dernière égalité : notons  $C(k, i, j)$  l'ensemble des mots de longueur  $k + 1$ . Alors  $C(k, i, j)$  est en bijection avec  $\bigsqcup_l C(k-1, i, l) \times C(1, l, j)$  (en associant  $w_0 w_1 \dots w_k$  à  $(w_0 w_1 \dots w_{k-1}, w_{k-1} w_k)$ ), d'où l'égalité des cardinaux.

**Proposition 10.** Le nombre de points fixes de  $\sigma_A^k$  est égal à la trace de  $A^k$ .

*Preuve.* Soit  $s \in \Sigma_A$  un point fixe de  $\sigma_A^k$ . Il vérifie donc  $\sigma_A^k(s) = s$  et s'écrit donc sous la forme  $s = i s_1 s_2 s_3 \dots s_{k-1} i s_1 s_2 s_3 \dots s_{k-1} \dots$ . L'ensemble des points fixes de  $\sigma_A^k$  est donc en bijection avec les mots autorisés par  $A$  de longueur  $k + 1$  commençant et terminant par la même lettre. Le résultat suit du lemme précédent :

$$\#Fix(\sigma_A^k | \Sigma_A) = \sum_i c(k, i, i) = \sum_i (A^k)_{ii} = Tr(A^k). \quad \square$$

- Définition 8.** 1. Soit  $s \in (\Sigma_A^+)$ , on dit que  $s$  est **périodique** de période  $k$  si et seulement si  $\sigma_A^k(s) = s$ .
2. Si  $s$  admet une période, alors on appelle la **période primitive**  $K$ , la plus petite période de  $s$ .

**Proposition 11.** On se place dans  $\Sigma_A$  dans le cas où l'on a :

$$A = \begin{pmatrix} 0 & 1 & \dots & 1 & 1 \\ 1 & 0 & \dots & 1 & 1 \\ \vdots & \vdots & \ddots & \vdots & \vdots \\ 1 & 1 & \dots & 0 & 1 \\ 1 & 1 & \dots & 1 & 0 \end{pmatrix}$$

Dans cette configuration, on étudie donc les suites dans  $\{1, \dots, p\}$  avec  $p \geq 1$ , tel que deux termes consécutifs sont distincts. Alors le nombre de suites périodiques de période  $k \geq 1$  de  $\Sigma_A$  est  $(p-1)^k + (-1)^k(p-1)$ .

*Preuve.* Soit  $k \geq 1$ . Posons  $\Sigma_A^{(k)} = \{s \in \Sigma_A \mid s \text{ de période } k\}$  Alors on a :

$$f : \begin{array}{l} \Sigma_A^{(k)} \rightarrow \{1, \dots, p\}^{k+1} \\ s \mapsto (s_0, s_1, \dots, s_{k-1}, s_0) \end{array}$$

$f$  est une bijection sur son image, ainsi compter le nombre de suite périodique de période  $k$  tel que deux termes consécutifs soient différents revient à compter le nombre de mot de l'alphabet  $\{1, \dots, p\}$  de longueur  $k+1$ , terminant et commençant par la même lettre, et tel que deux lettres consécutives sont toujours différentes. On a :

$$f(\Sigma_A^{(k)}) = \bigsqcup_{i=1}^p \{(a_0, \dots, a_k) \in \{1, \dots, p\}^{k+1} \mid a_i \neq a_{i+1} \text{ et } a_0 = a_k = i\}$$

Ainsi:

$$\text{Card}(\Sigma_A^{(k)}) = \text{Card}(f(\Sigma_A^{(k)}))$$

$$\text{Card}(\Sigma_A^{(k)}) = \sum_{i=1}^p \text{Card}(\{\text{Mots de longueur } k+1 \text{ commençant et terminant par la même lettre } i\})$$

D'après le lemme 5 on a:

$$\text{Card}(\{\text{Mots de longueur } k \text{ commençant et terminant par la même lettre } i\}) = (A^k)_{i,i}$$

D'où:

$$\text{Card}(\Sigma_A^{(k)}) = \sum_{i=1}^p (A^k)_{i,i} = \text{Tr}(A^k)$$

Calculons à présent  $A^k$ , on pose:

$$J := \begin{pmatrix} 1 & 1 & \dots & 1 & 1 \\ 1 & 1 & \dots & 1 & 1 \\ \vdots & \vdots & & \vdots & \vdots \\ 1 & 1 & \dots & 1 & 1 \\ 1 & 1 & \dots & 1 & 1 \end{pmatrix}$$

On a :

$$J^2 = p \times J$$

Donc:

$$\forall n \in \mathbb{N}^*, J^n = p^{n-1} \times J$$

De plus comme J commute avec  $I_p$ , on utilise la formule de Newton :

$$\begin{aligned} A^k &= (J - I_p)^k = \sum_{l=0}^k \binom{k}{l} (-1)^{k-l} J^l \\ &= \sum_{l=1}^k \binom{k}{l} (-1)^{k-l} p^{l-1} J + (-1)^k I_p \\ &= \frac{1}{p} \left( \sum_{l=0}^k \binom{k}{l} (-1)^{k-l} p^l \right) \times J - \frac{(-1)^k}{p} J + (-1)^k I_p \\ &= \frac{1}{p} (p-1)^k J - \frac{(-1)^k}{p} J + (-1)^k I_p \end{aligned}$$

D'où finalement:

$$\begin{aligned} \text{Card}(\Sigma_A^{(k)}) &= \text{Tr}(A^k) \\ &= \frac{1}{p} (p-1)^k \text{Tr}(J) - \frac{(-1)^k}{p} \text{Tr}(J) + (-1)^k \text{Tr}(I_p) \\ &= \frac{1}{p} (p-1)^k \times p - \frac{(-1)^k}{p} \times p + (-1)^k \times p \\ &= (p-1)^k - (-1)^k + (-1)^k \times p \\ &= (p-1)^k + (-1)^k (p-1). \end{aligned} \quad \square$$

*Remarque.* Dans le cas de notre billard, où  $A = A_3$ , on a donc  $2^k + 2(-1)^k$  suites périodiques de période  $k$ .

**Définition 9.** Une matrice  $n \times n$  à coefficients dans  $\{0, 1\}$  est **réductible** s'il existe une paire  $i, j$  telle que  $(A^k)_{ij} = 0$  pour tout  $k \geq 1$ . Visuellement, cela signifie qu'il existe dans le graphe associé une paire de sommets  $i, j$  telle que  $i$  ne peut être relié à  $j$ .

Une matrice  $n \times n$  à coefficients dans  $\{0, 1\}$  est donc **irréductible** si pour toute paire

$i, j$ , il existe  $k(i, j) \geq 1$  tel que  $(A^{k(i, j)})_{ij} > 0$ . Sur le graphe associé, cela veut dire que pour tous sommets  $i, j$  il existe un mot autorisé par  $A$  de  $i$  vers  $j$ .

**Proposition 12.** Soit  $A$  une matrice de transition. Supposons que  $s^* \in \Sigma_A$  est d'orbite dense dans  $\Sigma_A$  et n'est pas périodique. Alors  $A$  n'est pas une matrice de permutation et pour tout  $k \geq 1$ ,  $\sigma_A^k(s^*)$  est d'orbite dense dans  $\Sigma_A$ .

*Preuve.* Soit  $k > 1$ . Montrons d'abord que l'orbite de  $\sigma_A^k(s^*)$ ,  $\{\sigma_A^{k+j}(s^*); j \in \mathbb{N}\}$ , est dense dans  $\Sigma_A \setminus \{\sigma_A^i(s^*); 0 \leq i < k\}$ . Soit  $s$  dans  $\Sigma_A \setminus \{\sigma_A^i(s^*); 0 \leq i < k\}$  et  $s^n$  une suite de l'orbite de  $\sigma_A(s^*)$  tel que  $s^n$  converge vers  $s$ . Par l'absurde, supposons qu'à partir d'un certain rang, pour tout  $n$ ,  $s^n$  appartienne à  $\{\sigma_A^i(s^*); 0 \leq i < k\}$ . Alors il existe  $i_0$  tel qu'une infinité de  $s_n$  soit égal à  $\sigma_A^{i_0}(s^*)$ . Donc pour tout  $n$  dans  $\mathbb{N}$ , il existe  $k_n$  tel que  $s^{k_n} = \sigma_A^{i_0}(s^*)$  et  $d(s^{k_n}, s^*) \leq 2^{-n}$ , donc les  $n$  premières lettres de  $\sigma_A^{i_0}(s^*)$  et  $s$  sont identiques. Donc  $s = \sigma_A^{i_0}(s^*) \notin \Sigma_A \setminus \{\sigma_A^i(s^*); 0 \leq i < k\}$ . Contradiction. Donc  $s$  est bien dans l'adhérence de l'orbite de  $\sigma_A^k(s^*)$ .

Soit  $s \in \Sigma_A$  et  $\epsilon > 0$ .  $s^*$  a un antécédent par  $\sigma_A$  (d'après la définition de matrice de transition) qu'on note  $t^*$ . L'orbite de  $t^*$  est dense dans  $\Sigma_A$  (comme  $\sigma_A(t^*) = s^*$  et que  $s^*$  est d'orbite dense). Il existe donc  $n_1 \geq 0$  tel que  $d(s, \sigma_A^{n_1}(t^*)) < \frac{\epsilon}{2}$ . Or  $t^*$  n'est pas dans l'orbite de  $s^*$ , sinon  $t^*$  est périodique et donc  $s^*$  l'est aussi. Donc  $t^*$  appartient à  $\Sigma_A \setminus \{\sigma_A^i(s^*); 0 \leq i < k\}$ . Donc par densité de l'orbite de  $\sigma_A^k(s^*)$  dans  $\Sigma_A \setminus \{\sigma_A^i(s^*); 0 \leq i < k\}$ , il existe  $n_2 \geq k$  tel que  $d(t^*, \sigma_A^{n_2}(s^*)) < \frac{\epsilon}{2}$ . Mais alors  $d(\sigma_A^{n_1}(t^*), \sigma_A^{n_1+n_2}(s^*)) < \frac{\epsilon}{2}$ . Donc  $d(s, \sigma_A^{n_1+n_2}(s^*)) \leq d(s, \sigma_A^{n_1}(t^*)) + d(\sigma_A^{n_1}(t^*), \sigma_A^{n_1+n_2}(s^*)) < \epsilon$ . L'orbite de  $\sigma_A^k(s^*)$  est bien dense dans  $\Sigma_A$ .  $\square$

**Proposition 13.** Les deux propositions suivantes sont équivalentes :

1.  $A$  est irréductible
2.  $\sigma_A$  possède une orbite dense dans  $\Sigma_A$ .

*Preuve.* Montrons d'abord 1.  $\implies$  2. . Montrons qu'on peut construire une suite  $s^*$  contenant tous les mots autorisés par  $A$  de longueur finie. Pour  $n$  dans  $\mathbb{N}$  indexons les mots de longueur  $n$  : notons les  $v_{n,1}, v_{n,2}, \dots, v_{l_n, n}$  avec  $l_n$  le nombre de mots de tailles  $n$ . Comme  $A$  est irréductible, pour tout  $i$  dans  $\{1, \dots, l_n - 1\}$ , il existe un mot  $t_{n,i}$  autorisé par  $A$  reliant la dernière lettre de  $v_{n,i}$  et la première lettre de  $v_{n,i+1}$ . On peut donc construire le mot  $w_n = v_{n,1}t_{n,1}v_{n,2}t_{n,2}\dots t_{n,l_n-1}v_{n,l_n}$  contenant tous les mots de longueur  $n$ . Ensuite, toujours par irréductibilité de  $A$ , pour tout  $n$  dans  $\mathbb{N}$ , il existe un mot  $t'_n$  autorisé par  $A$  reliant la dernière lettre de  $w_n$  et la première lettre de  $w_{n+1}$ . Alors la suite  $s^* = w_1t'_1w_2t'_2w_3\dots$  est bien dans  $\Sigma_A$  et contient bien tous les mots autorisés par  $A$  de longueur finie. Soit  $u \in \Sigma_A$ . Soit  $n \in \mathbb{N}$ . Alors il existe un  $k$  dans  $\mathbb{N}$  tel que  $\sigma_A^k(s^*)$  coïncide avec  $u$  sur les  $n$  premiers termes. Mais alors  $d(u, \sigma_A^k(s^*)) \leq 2^{-n}$ . L'orbite de  $s^*$  est donc dense dans  $\sigma_A$ .

Montrons maintenant 2.  $\implies$  1. . Si  $A$  est une permutation,  $A$  est irréductible (on peut tracer le graphe d'une permutation pour vérifier qu'on peut aller d'un sommet à l'autre). Supposons donc que  $A$  n'est pas une permutation. Soit  $s^* \in \Sigma_A$  dans une orbite dense de  $\sigma_A$ . Comme  $A$  n'est pas une permutation,  $s^*$  n'est pas périodique. Soit  $i, j$  dans  $\{1, \dots, p\}$ . Il existe

$a \in \Sigma_A$  tel que  $a_0 = i$  par construction de  $A$  et  $\Sigma_A$  (cf rem. déf. 4.1.). Par densité de l'orbite de  $s^*$ , il existe  $t$  dans cette orbite tel que  $d(a, t) < 1$ , ce qui implique  $t_0 = a_0$ . Or il existe  $k_1 \in \mathbb{N}$  tel que  $\sigma_A^{k_1}(s^*) = t$ , donc  $s_{k_1}^* = a_0 = i$ . Par le même raisonnement, il existe  $b \in \Sigma_A$  tel que  $b_0 = j$ . En utilisant la densité de l'orbite de  $\sigma_A^{k_1+1}(s^*)$  (par la proposition précédente comme  $s^*$  n'est pas périodique), il existe  $k_2 > k_1$  tel que  $\sigma_A^{k_2}(s^*)_0 = b_0$ , donc  $s_{k_2}^* = j$ . Alors le mot  $s_{k_1}s_{k_1+1}\dots s_{k_2}$  est autorisé par  $A$  et relie les sommets  $i$  et  $j$ , donc  $A$  est irréductible.  $\square$

**Lemme 6.** *Si  $A$  est une matrice de transition irréductible et qu'il existe  $i_0$  tel que  $\sum_j a_{i_0,j} \geq 2$  alors pour tout  $i$ , il existe  $k_i \in \mathbb{N}$  tel que  $\sum_j (A^{k_i})_{i,j} \geq 2$*

*Preuve.* Puisque  $A$  est irréductible, il existe un mot  $w = is_1s_2\dots s_{k-1}i_0 \in \Sigma_A$ . Posons  $k$  la longueur de  $w$ . Il y a donc  $k - 1$ . Alors  $c(k - 1, i, i_0) \geq 1$ . Après  $i_0$ , il y a donc 2 choix possibles. Donc  $\sum_j (A^k)_{ii_0} \geq \sum_j (A^{k-1})_{i_0j} \times A_{i_0j} = \sum_j c(k - 1, i, i_0)A_{i_0j} \geq 2$ .  $\square$

**Définition 10.** *Un espace topologique est **parfait** s'il est fermé et qu'il ne possède pas de points isolés.*

**Proposition 14.** *Si  $A$  est une matrice de transition irréductible et qu'il existe  $i_0$  tel que  $\sum_j a_{i_0,j} \geq 2$  alors  $\Sigma_A^+$  est parfait.*

*Preuve.* Soit  $s \in \Sigma_A^+$ , soit  $\epsilon > 0$ , alors il existe  $N \in \mathbb{N}$  tel que  $\epsilon \geq \frac{1}{2^{N+1}}$  et il existe  $k_{s_n} \in \mathbb{N}$  tel que  $\sum_j (A^{k_{s_n}})_{s_n,j} \geq 2$  (par le lemme précédent). Posons  $t \in \Sigma_A^+$  tel que  $\forall n \in \{0, \dots, N\}, t_n = s_n$  et  $t_{N+m} \neq s_{N+m}$  pour un  $m$  compris entre 1 et  $k_{s_n}$ . On peut choisir un tel  $t$  car il y a plus de 2 mots différents de longueur  $k_{s_n}$  commençant par  $s_n$ . Ainsi  $d(s, t) \leq 2^{-\inf\{k \in \mathbb{N} : s_k \neq t_k\}} \leq 2^{-(N+1)} \leq \epsilon$  et  $s \neq t$ .  $\square$

## 2.4 Décalages bilatères

**Définition 11.** *On définit de la même manière que pour  $\mathcal{A}^{\mathbb{N}}$  les espaces  $\mathcal{A}^{\mathbb{Z}}$  (voir définition 3 et définition 4)*

**Proposition 15.**  *$\mathcal{A}^{\mathbb{Z}}$  est métrisable et on peut le munir d'une distance ultramétrique définie pour tout  $s, t \in \mathcal{A}^{\mathbb{Z}}$  par:*

$$d(s, t) = 2^{-\inf\{|k| \in \mathbb{N} : s_k \neq t_k\}} \text{ avec } \inf \emptyset = +\infty$$

**Proposition 16.**  *$\mathcal{A}^{\mathbb{Z}}$  est compact.*

**Définition 12.** *Soit  $p \geq 2$ . On définit l'espace  $\Sigma_p$  comme l'ensemble  $\mathcal{A}^{\mathbb{Z}}$  lorsque  $\mathcal{A} = \{1, \dots, p\}$ .  
On munit  $\Sigma_p$  de  $\sigma$ , définie par  $\sigma(s) = t$  tel que pour tout  $k \in \mathbb{Z}$   $t_k = s_{k+1}$ .*

*Remarque.* Nous avons noté de la même manière,  $\sigma$ , le décalage unilatéral (sur  $\mathcal{A}^{\mathbb{N}}$ ) et le décalage bilatéral (sur  $\mathcal{A}^{\mathbb{Z}}$ ) mais le contexte permet d'éviter toute ambiguïté.



**Proposition 17.**  $\sigma$  est un homéomorphisme sur  $\Sigma_p$

*Preuve.* On peut aussi munir  $\Sigma_p$  de  $\sigma^{-1}$ , définie par  $\sigma^{-1}(s) = t$  tel que pour tout  $k \in \mathbb{Z}$   $t_k = s_{k-1}$ .

Par construction,  $\sigma^{-1}$  est l'inverse de  $\sigma$  et ces deux applications sont continues car 2-lipschitziennes.  $\square$

**Définition 13.** Soit  $A = (a_{i,j})_{(i,j) \in \{1,\dots,p\}^2}$  une matrice de transition de taille  $p \times p$ , on définit alors l'ensemble  $\Sigma_A$  par  $\{s \in \Sigma_p \mid \forall k \in \mathbb{Z}, a_{s_k, s_{k+1}} = 1\}$ .

**Proposition 18.** 1.  $\Sigma_A$  est fermé dans  $\Sigma_p$

2.  $\sigma(\Sigma_A) = \Sigma_A$

**Définition 14.** On définit  $\sigma_A : \Sigma_A \rightarrow \Sigma_A$  comme la restriction de  $\sigma$  à  $\Sigma_A$ .

**Proposition 19.**  $\Sigma_A$  est compact

*Remarque.* Les preuves des théorèmes et propositions précédentes sur  $\mathcal{A}^{\mathbb{Z}}$  se démontrent de la même manière que sur  $\mathcal{A}^{\mathbb{N}}$ , on ne les détaillera donc pas.

### 3 Homéomorphisme entre $K$ et $\Sigma_A$

#### 3.1 Détermination des suites périodiques

Par la suite, on se donne un mot  $w^*$  admissible de taille  $k$  dans  $\mathbb{N}$  et on essaie de trouver une trajectoire de  $K$   $k$ -périodique suivant  $w^*$ , c'est-à-dire  $x$  dans  $K$  tel que  $(T^n(x))_{n \in \{0, \dots, k-1\}} = w^*$ .

**Définition 15.** Posons  $\Omega_{w^*} := \prod_{i=0}^{k-1} C_{w_i^*}$ .

On définit  $\mathcal{E} : Y = (Y_0, \dots, Y_{k-1}) \mapsto \sum_{i \in \mathbb{Z}/k\mathbb{Z}} ||Y_{i+1} - Y_i|| \in \mathbb{R}^+$  l'action associée à  $w^*$ .

**Théorème 1.** 1.  $\mathcal{E}$  est lisse .

2.  $\mathcal{E}$  admet un minimum et il est atteint pour une unique trajectoire périodique de  $K$ .

*Preuve.* Montrons d'abord que  $\mathcal{E}$  est lisse. Pour tout  $(Y_0, \dots, Y_{k-1})$  dans  $\Omega_{w^*}$  on a :  
 $\forall i \in \mathbb{Z}/k\mathbb{Z}, Y_i \neq Y_{i+1}$  (car  $w^*$  est admissible), or  $x \rightarrow \|x\|$  est  $\mathcal{C}^\infty$  sur  $\mathbb{R}^2 \setminus \{0\}$  or :  
 $\mathcal{E}(Y_0, \dots, Y_{k-1}) = \sum_{i \in \mathbb{Z}/k\mathbb{Z}} \|f_i(Y_0, \dots, Y_{k-1})\|$  où  $\forall i \in \mathbb{Z}/k\mathbb{Z}, f_i(Y_0, \dots, Y_{k-1}) = Y_i - Y_{i+1} \neq 0$ .  
Les  $f_i$  étant bien  $\mathcal{C}^\infty$  et à valeurs différentes de 0, on en déduit que  $\mathcal{E}$  est elle aussi  $\mathcal{C}^\infty$ .

Montrons maintenant que  $\mathcal{E}$  possède un minimum global sur  $\Omega_{w^*}$ .  
 $\forall i \in \mathbb{Z}/k\mathbb{Z}, C_{w_i^*}$  est un fermé borné de  $\mathbb{R}^2$  (c'est un cercle du plan), c'est donc un compact de  $\mathbb{R}^2$ .  
Ainsi  $\Omega_{w^*}$  est un compact comme produit fini de compact.  
 $\mathcal{E}$  est continue sur  $\Omega_{w^*}$  compact donc elle y admet un minimum global.

Montrons que le minimum de  $\mathcal{E}$  est une trajectoire périodique.  
Soit  $(Y_0, Y_1, \dots, Y_{k-1}) \in \underset{(Y_0, Y_1, \dots, Y_{k-1}) \in \Omega_{w^*}}{\operatorname{argmin}} \mathcal{E}(Y_0, Y_1, \dots, Y_{k-1})$

On définit pour  $i$  dans  $\mathbb{Z}/k\mathbb{Z}$ :

$$(q_i, \vec{v}_i) := \left( Y_i, \frac{Y_{i+1} - Y_i}{\|Y_{i+1} - Y_i\|} \right)$$

Montrons d'abord que  $T(q_i, \vec{v}_i)$  est bien défini, c'est à dire que pour tout  $i$  dans  $\mathbb{Z}/k\mathbb{Z}$   $(q_i, \vec{v}_i)$  est un élément de  $F$ , ce qui est équivalent à dire que tout segment  $[Y_i, Y_{i+1}]$  n'intersecte les obstacles qu'à ses extrémités, ou encore que pour tout  $i \in \mathbb{Z}/k\mathbb{Z}, \operatorname{Card}([Y_i, Y_{i+1}] \cap \partial Q) = 2$ .  
Raisonnons par l'absurde en supposant qu'il existe  $i \in \mathbb{Z}/k\mathbb{Z}$  tel que  $\operatorname{Card}([Y_i, Y_{i+1}] \cap \partial Q) > 2$ .  
Autrement dit  $]Y_i, Y_{i+1}[$  s'intersecte avec au moins un obstacle et plus précisément avec  $C_{w_i^*}$  ou  $C_{w_{i+1}^*}$  par condition de non éclipse.  
On considère sans perdre de généralités que  $C_{w_i^*} \cap ]Y_i, Y_{i+1}[$  est non vide, soit  $Y'_i \in C_{w_i^*} \cap ]Y_i, Y_{i+1}[$ , alors on a :

$$\begin{aligned} \|Y_i - Y_{i+1}\| &= \|Y_i - Y'_i\| + \|Y'_i - Y_{i+1}\| \text{ et} \\ \|Y'_i - Y_{i-1}\| &\leq \|Y_i - Y'_i\| + \|Y_i - Y_{i-1}\| \end{aligned}$$

Donc :

$$\begin{aligned} \|Y'_i - Y_{i-1}\| + \|Y'_i - Y_{i+1}\| &\leq \|Y_i - Y'_i\| + \|Y_i - Y_{i-1}\| + \|Y_i - Y_{i+1}\| - \|Y_i - Y'_i\| \text{ d'où:} \\ \|Y'_i - Y_{i-1}\| + \|Y'_i - Y_{i+1}\| &\leq \|Y_i - Y_{i-1}\| + \|Y_i - Y_{i+1}\| \end{aligned}$$

De plus comme  $Y_{i-1}, Y_i, Y_{i+1}$  ne sont pas alignés on a :  $\|Y'_i - Y_{i-1}\| \neq \|Y_i - Y_{i-1}\|$  d'où:  
 $\|Y'_i - Y_{i-1}\| + \|Y'_i - Y_{i+1}\| < \|Y_i - Y_{i-1}\| + \|Y_i - Y_{i+1}\|$

Ainsi enfin :

$$\mathcal{E}(Y_0, \dots, Y'_i, \dots, Y_{k-1}) < \mathcal{E}(Y_0, \dots, Y_i, \dots, Y_{k-1})$$

Ce qui est exclu car  $(Y_0, \dots, Y_i, \dots, Y_{k-1})$  est un minimum global de  $\mathcal{E}$ .

Donc  $(q_i, \vec{v}_i) \in F$

On va montrer que pour tout  $i$  dans  $\mathbb{Z}/k\mathbb{Z}, T(q_i, \vec{v}_i) = (q_{i+1}, \vec{v}_{i+1})$ , de sorte que  $(T^n(q_0, \vec{v}_0))_{n \in \mathbb{Z}}$  est une trajectoire périodique vérifiant  $(T^n(q_0, \vec{v}_0))_{\{n \in \{0, \dots, k-1\}\}} = w^*$ .

Montrons à présent que pour  $i$  dans  $\mathbb{Z}/k\mathbb{Z}, T(q_i, \vec{v}_i) = (q_{i+1}, \vec{v}_{i+1})$

Soit  $p_1(x, y) \rightarrow x$  la projection d'un vecteur de  $\Omega$  sur sa première coordonnée. Par construc-

tion on a déjà que  $p_1(T((q_i, \vec{v}_i))) = q_{i+1}$ .

Montrons que  $p_2(T((q_i, \vec{v}_i))) = \vec{v}_{i+1}$ .

On peut voir  $\mathcal{E}$  comme la restriction d'une fonction  $J$  de  $\mathbb{R}^{2k}$  dans  $\mathbb{R}$  de variable  $(x_0, y_0, x_1, y_1, \dots, x_{k-1}, y_{k-1})$ . Minimiser  $\mathcal{E}$  revient alors à minimiser  $J$  sous contraintes, où les contraintes sont, pour tout  $i$  dans  $\{0, \dots, k-1\}$ ,  $(x_i, y_i) \in C_{w_i^*}$ . Le problème de minimisation est alors  $\min_{g=0} J$  en posant  $g = (g_0, \dots, g_{k-1})$  et pour tout  $i$  dans  $\{0, \dots, k-1\}$ ,  $g_i$  :

$$(x_0, y_0, x_1, y_1, \dots, x_{k-1}, y_{k-1}) \mapsto (x_i - c_{w_i^*, 1})^2 + (y_i - c_{w_i^*, 2})^2 - a_{w_i^*}^2.$$

L'expression du gradient de  $J$  est :

$$\nabla J(x_0, y_0, x_1, y_1, \dots, x_{k-1}, y_{k-1}) = \begin{pmatrix} \vdots \\ \frac{x_i - x_{i+1}}{\|Y_i - Y_{i+1}\|} + \frac{x_i - x_{i-1}}{\|Y_i - Y_{i-1}\|} \\ \frac{y_i - y_{i+1}}{\|Y_i - Y_{i+1}\|} + \frac{y_i - y_{i-1}}{\|Y_i - Y_{i-1}\|} \\ \vdots \end{pmatrix}$$

Et celui de  $g_i$  pour tout  $i$  dans  $\mathbb{Z}/k\mathbb{Z}$  est :

$$\nabla g_i(x_0, y_0, x_1, y_1, \dots, x_{k-1}, y_{k-1}) = \begin{pmatrix} 0 \\ \vdots \\ 2(x_i - c_{w_{i1}^*}) \\ 2(y_i - c_{w_{i2}^*}) \\ \vdots \\ 0 \end{pmatrix}$$

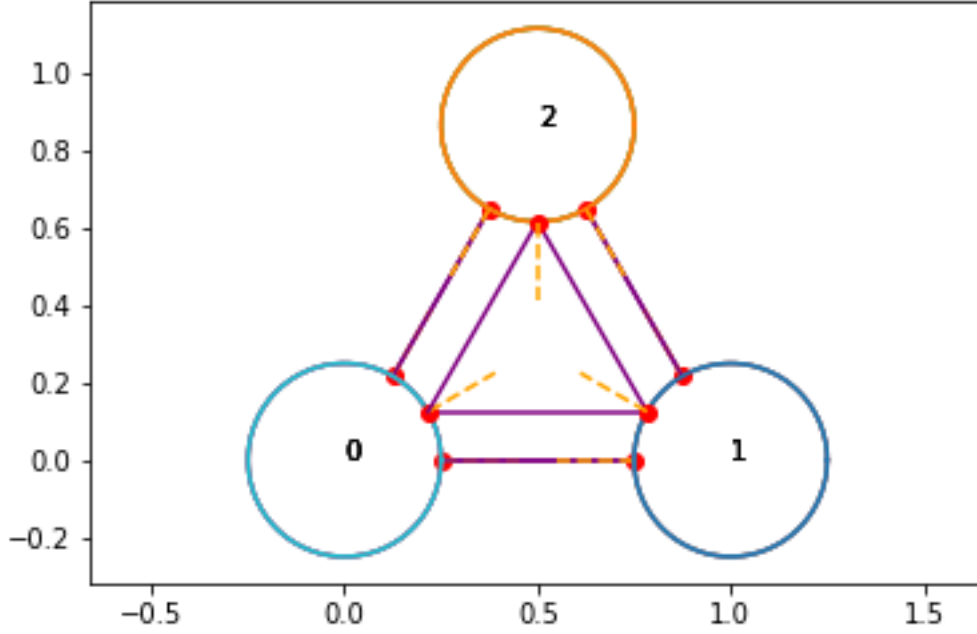
La différentielle  $d_{Y^*} g$  est surjective (matrice triangulaire inférieure à coefficients non nuls sur la diagonales, les  $(x_i - c_{w_{i1}^*})$  et les  $(y_i - c_{w_{i2}^*})$  étant non nuls pour tout  $i$  dans  $\mathbb{Z}/k\mathbb{Z}$ ). On peut alors appliquer le théorème des extrema liés : il existe  $\lambda$  dans  $\mathbb{R}^k$  tel que  $\nabla J(Y^*) = \langle \lambda, \nabla g(Y^*) \rangle_{\mathbb{R}^k} = \sum_{i=0}^{k-1} \lambda_i \nabla g_i(Y^*)$ .

Donc pour tout  $i$  dans  $\mathbb{Z}/k\mathbb{Z}$ , on obtient les relations  $\frac{x_{i+1} - x_i}{\|Y_{i+1} - Y_i\|} = \frac{x_i - x_{i-1}}{\|Y_i - Y_{i-1}\|} - 2\lambda_i(x_i - c_{w_{i1}^*})$  et  $\frac{y_{i+1} - y_i}{\|Y_{i+1} - Y_i\|} = \frac{y_i - y_{i-1}}{\|Y_i - Y_{i-1}\|} - 2\lambda_i(y_i - c_{w_{i2}^*})$  ou vectoriellement,  $\vec{v}_i = \vec{v}_{i-1} - \lambda_i \vec{n}(q_i)$  en renormalisant  $\lambda_i$ . Par passage à la norme et avec  $\vec{v}_i, \vec{v}_{i-1}$  et  $\vec{n}(q_i)$  unitaires, on obtient :

$$\begin{aligned} \|\vec{v}_i\|^2 = \|\vec{v}_{i-1} - \lambda_i \vec{n}(q_i)\|^2 &\iff 1 = 1 - 2\lambda_i \langle \vec{v}_{i-1}, \vec{n}(q_i) \rangle + \lambda_i^2 \\ &\iff \lambda_i(\lambda_i - 2\langle \vec{v}_{i-1}, \vec{n}(q_i) \rangle) = 0 \\ &\iff \lambda_i = 2\langle \vec{v}_{i-1}, \vec{n}(q_i) \rangle \quad (\lambda_i \neq 0 \text{ car } \vec{v}_{i-1} \neq \vec{v}_i) \end{aligned}$$

On a donc bien  $\vec{v}_i = \vec{v}_{i-1} - 2\langle \vec{v}_{i-1}, \vec{n}(q_i) \rangle \vec{n}(q_i)$ .  $\square$

Ce théorème permet de mettre en place une solution algorithmique pour trouver l'unique  $x$  dans  $K$  tel que sa trajectoire soit périodique et  $(T^n(x))_{n \in \{0, \dots, k-1\}} = w^*$ , en utilisant l'algorithme de descente de gradient projeté sur  $\mathcal{E}$ .



Simulation informatique des trajectoires periodiques de taille 3 et moins (Voir code B).

### 3.2 Conjugaison de $(K, T)$ et $(\Sigma_{A_3}, \sigma_{A_3})$

**Théorème 2.**  $(K, T)$  est conjugué à  $(\Sigma_{A_3}, \sigma_{A_3})$ , c'est à dire qu'il existe un homéomorphisme  $h : K \rightarrow \Sigma_{A_3}$  tel que  $h \circ T = \sigma_{A_3} \circ h$ . En résumé, le diagramme suivant commute :

$$\begin{array}{ccc}
 K & \xrightarrow{T} & K \\
 h \downarrow & & \downarrow h \\
 \Sigma_{A_3} & \xrightarrow{\sigma_{A_3}} & \Sigma_{A_3}
 \end{array}$$

*Preuve.* Posons dans un premier temps la fonction :

$$g : \begin{array}{ccc}
 K & \rightarrow & \{1, 2, 3\} \\
 x = (q, \vec{v}) & \mapsto & i \text{ tel que } q \in C_i
 \end{array}$$

Alors  $g$  est continue. En effet,  $g = g_2 \circ g_1$  avec

$$g_1 : \begin{array}{ccc}
 K & \rightarrow & \partial Q \\
 x = (q, \vec{v}) & \mapsto & q
 \end{array}$$

la projection selon la première coordonnée, application continue, et

$$g_2 : \begin{array}{ccc}
 \partial Q & \rightarrow & \{1, 2, 3\} \\
 q & \mapsto & i \text{ tel que } q \in C_i
 \end{array}$$

qui est une application continue car les cercles sont 2 à 2 disjoints.

On peut ainsi définir :

$$h : \begin{array}{ccc} K & \rightarrow & \Sigma_A \\ x = (q, \vec{v}) & \mapsto & (g(T^k(x)))_{k \in \mathbb{Z}} \end{array}$$

La continuité de  $h$  provient de celle de  $g$  et de  $T$ , montrons-le en fixant  $x \in K$ . Soit  $n \geq 1$ . Pour tout  $k \in \{-n, \dots, n\}$ , par continuité de  $g \circ T^k$ , il existe  $\delta_k > 0$  tel que  $\forall y \in B(x, \delta_k), g(T^k(y)) \in B(g(T^k(x)), 1) = \{g(T^k(x))\}$ . On a donc  $\forall y \in B(x, \min_{k \in \{-n, \dots, n\}} \delta_k), \forall k \in \{-n, \dots, n\}, g(T^k(y)) = g(T^k(x))$ , donc  $d(h(x), h(y)) = 2^{-\inf\{k \in \mathbb{N} : h(x)_k \neq h(y)_k\}} \leq 2^{-(n+1)}$ .

Montrons à présent que  $h \circ T = \sigma_{A_3} \circ h$ , soit  $x \in K$  :

$$h \circ T(x) = h(T(x) = (g(T^k(T(x))))_{k \in \mathbb{Z}}) = (g(T^{k+1}(x)))_{k \in \mathbb{Z}}$$

De plus:

$$\sigma_{A_3} \circ h(x) = \sigma_{A_3}(h(x)) = \sigma_{A_3}(g(T^k(x)))_{k \in \mathbb{Z}} = (g(T^{k+1}(x)))_{k \in \mathbb{Z}}$$

Donc  $h \circ T(x) = \sigma_{A_3} \circ h(x)$ .

Passons maintenant à la surjectivité de  $h$ .

Notons  $\mathcal{P}$  le sous-ensemble des trajectoires périodiques de  $K$ . On remarque que  $h(\mathcal{P})$  est l'ensemble des sous-suites périodiques de  $\Sigma_A$ . En effet, la première inclusion est donnée par la définition des trajectoires périodiques et pour la deuxième inclusion, soit  $s = \dots wwww \dots$  une suite périodique de  $\Sigma_A$ . Alors la preuve du Théorème 1. pour le mot  $w$  construit  $x$  dans  $K$  tel que  $h(x) = s$ .

Montrons d'abord que  $h(\mathcal{P})$  est dense dans  $\Sigma_A$  c'est-à-dire :

$$\overline{h(\mathcal{P})} = \Sigma_A \tag{1}$$

Soit  $s$  dans  $\Sigma_A$ . Alors pour tout  $n \geq 1$ , posons  $w$  périodique de période  $2n + 1$  coïncidant avec  $s$  sur  $\{-n, \dots, n\}$ . Alors on a bien  $d(s, w) \leq 2^{-n}$ .

Montrons maintenant l'égalité suivante :

$$\overline{h(\mathcal{P})} \subset h(\overline{\mathcal{P}}) \tag{2}$$

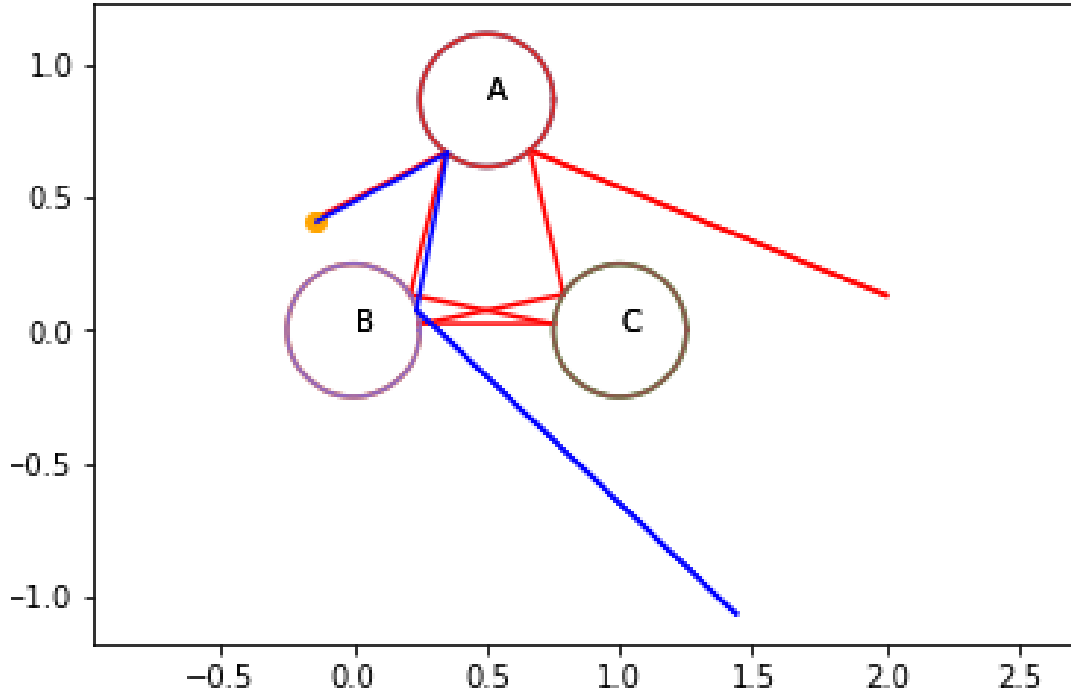
C'est un résultat classique sous les hypothèses  $h$  continue et  $K$  compact. Soit  $s$  dans  $\overline{h(\mathcal{P})}$ . Il existe donc  $(s^n)_{n \in \mathbb{N}} = (h(x_n))_{n \in \mathbb{N}}$  dans  $h(\mathcal{P})^{\mathbb{N}}$  tel que  $\lim s^n = s$  et où  $(x_n)_{n \in \mathbb{N}}$  est une suite à valeur dans  $K$  compact. Donc il existe une sous-suite  $(x_{n_k})_{k \in \mathbb{N}}$  de  $(x_n)_{n \in \mathbb{N}}$  convergeant vers  $x$  dans  $K$ . Mais alors  $\lim h(x_{n_k}) = h(x)$  par continuité de  $h$  et  $\lim h(x_{n_k}) = \lim s^{n_k} = s$ , donc  $s = h(x)$  avec  $x = \lim x_{n_k} \in \overline{\mathcal{P}}$ . Donc  $s \in h(\overline{\mathcal{P}})$ .

Alors en utilisant (1), (2) et l'inclusion  $\overline{\mathcal{P}} \subset K$ , on obtient :

$$\Sigma_A = \overline{h(\mathcal{P})} = h(\overline{\mathcal{P}}) \subset h(K) \subset \Sigma_A$$

Donc  $h(K) = \Sigma_A$  et  $h$  est bien surjective. □

### 3.3 Mélange topologique



Simulation informatique de deux trajectoires aux conditions initiales proches (Voir code A).

**Définition 16.** Si  $X$  est un espace métrique et  $T$  une application continue, le système  $(X, T)$  est dit **topologiquement mélangeant** si pour tous les ouverts  $U, V$  non vides de  $X$ , il existe  $N$  tel que pour tout  $n \geq N, U \cap T^{-n}V \neq \emptyset$ .

**Proposition 20.** Les propriétés suivantes sont équivalentes :

1. Le système  $(\Sigma_A, \sigma_A)$  est topologiquement mélangeant
2.  $A$  est irréductible et il existe 2 suites périodiques de période premières entre elles
3. Il existe un rang  $N$  tel que pour tout  $n \geq N$ , pour tout  $i, j$  dans  $\{1, \dots, p\}, (A^n)_{ij} > 0$ .

*Preuve.* 1.  $\implies$  2. : Si  $(\Sigma_A, \sigma_A)$  est topologiquement mélangeant, on peut appliquer la définition avec  $U = B(s, 1)$  et  $V = B(t, 1)$  avec  $s, t$  dans  $\Sigma_A$ . Donc il existe  $N$  tel que pour tout  $n \geq N$ , il existe  $u$  vérifiant la propriété :

$$u \in U \cap \sigma_A^{-n}V \quad (P_n)$$

Soit  $u$  vérifiant la propriété  $(P_n)$  par exemple pour  $n = N$ . Alors  $u \in B(s, 1)$  donc  $u_0 = s_0$  et  $\sigma_A^N(u) \in B(t, 1)$  donc  $u_N = t_0$ . Le mot  $s_0 u_1 \dots u_{N-1} t_0 = u_0 \dots u_N$  est donc admissible. Comme on peut choisir arbitrairement  $s_0$  et  $t_0$ , on a alors l'irréductibilité de  $A$ . Maintenant soit  $u$  et  $v$  vérifiant respectivement  $(P_N)$  et  $(P_{N+1})$  lorsque l'on choisit nos deux suites  $s$  et  $t$  tel que  $s_0 = t_0$ . Alors les mots  $s_0 u_1 \dots u_{N-1} t_0$  et  $s_0 v_1 \dots v_N t_0$  sont admissibles. Mais alors les

suites périodiques répétant les mots  $s_0u_1 \dots u_{N-1}$  et  $s_0v_1 \dots v_N$  sont périodiques de périodes  $N$  et  $N + 1$ , qui sont premiers entre eux.

2.  $\implies$  3. : Supposons qu'il existe  $s$  et  $t$  deux suites périodiques de  $\Sigma_A$  de période respectivement  $p$  et  $q$  avec  $p \wedge q = 1$ . On va alors montrer l'assertion suivante :

$$\forall n \geq pq, \exists (u, v) \in \mathbb{N}^2, up + vq = n.$$

Soit  $n \geq pq$ . Alors d'après le théorème de Bézout, il existe  $u, v$  dans  $\mathbb{N}$  tel que  $up + vq = 1$  et l'ensemble des solutions de l'équation  $xp + yq = n$  dans  $\mathbb{Z}^2$  est alors  $\{(u_0 - kq, v_0 + kp) \mid k \in \mathbb{Z}\}$  avec  $(u_0, v_0) = (nu, nv)$ . On notera donc ces solutions  $\{(u_k, v_k)\}_{k \in \mathbb{Z}}$ . On a alors :

$$\begin{aligned} 0 &\leq u_k \text{ et } 0 \leq v_k \\ \iff kq &\leq u_0 \text{ et } -v_0 \leq kp \\ \iff -\frac{v_0}{p} &\leq k \leq \frac{u_0}{q} \end{aligned}$$

L'intervalle décrit par  $k$  est non vide car  $\frac{u_0}{q} - \left(-\frac{v_0}{p}\right) = \frac{u_0p + qv_0}{pq} = \frac{n}{pq} \geq 1$  comme  $n \geq pq$ . Il existe donc une suite  $(u_n, v_n)_{n \geq pq}$  dans  $\mathbb{N}^2$  vérifiant  $u_n p + v_n q = n$ . Posons d'abord  $N_1 = \sup \inf_{i,j} \{n : \exists w = w_0 \dots w_n \in \Sigma_A, (w_0, w_n) = (i, j)\}$  (c'est le diamètre de  $\{1, \dots, p\}$  pour la distance  $d(i, j) = \inf\{|w| \mid w = w_0 \dots w_n \in \Sigma_A, (w_0, w_n) = (i, j)\}$  qui est bien définie par irréductibilité de  $A$ ). On peut donc relier deux sommets quelconques en moins de  $N_1$  lettres. Soit  $i, j$  dans  $\{1, \dots, p\}$ . Posons maintenant  $s^* = s_0 \dots s_{p-1}$  et  $t^* = t_0 \dots t_{q-1}$  le motif des suites  $s$  et  $t$ . Il existe des mots  $w^{(i, s_0)}$ ,  $w^{(s_{p-1}, t_0)}$  et  $w^{(t_{q-1}, j)}$  reliant respectivement  $i$  à  $s_0$ ,  $s_{p-1}$  à  $t_0$  et  $t_{q-1}$  à  $j$  chacun de longueur inférieure à  $N_1$  par définition de  $N_1$ . Alors pour tout  $n \geq pq$ , le mot  $w^{(i, s_0)} (s^*)^{u_n} w^{(s_{p-1}, t_0^*)} (t^*)^{v_n} w^{(t_{q-1}, j)}$  est un mot admissible reliant  $i$  à  $j$  de longueur  $3N_1 + u_n p + v_n q = 3N_1 + n$ . On a alors bien :

$$\forall n \geq 3N_1 + pq, \forall i, j \in \{1, \dots, p\}, (A^n)_{ij} > 0$$

3.  $\implies$  1. : Soit  $U, V$  2 ouverts non vides de  $\Sigma_A$ . Il existe donc 2 boules  $B(s, 2^{-k})$  et  $B(t, 2^{-k})$  avec  $k \geq 1$  contenues respectivement dans  $U$  et  $V$ . Alors il existe  $N \geq 1$  tel que pour tout  $n \geq N$ ,  $(A^n)_{s_k, t_{-k}} > 0$  et donc il existe un mot  $w_n$  admissible de longueur  $n$  reliant  $s_k$  à  $t_{-k}$ . Posons alors  $s^{(n)}$  une suite de  $B(s, 2^{-k})$  vérifiant  $s^{(n)} = \dots s_{-k} \dots s_k w_n t_{-k} \dots t_k \dots$ . Alors on a bien  $s^{(n)}$  dans  $B(s, 2^{-k})$  et  $\sigma_A^{n+2k+1}(s^{(n)})$  dans  $B(t, 2^{-k})$ . On a alors bien :

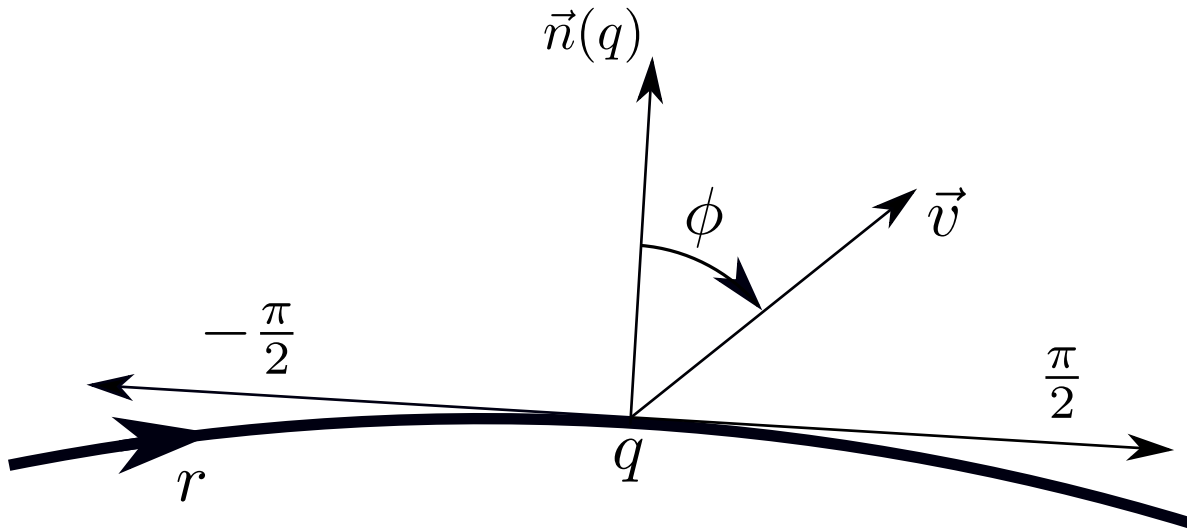
$$\forall n \geq N + 2k + 1, \forall i, j \in \{1, \dots, p\}, U \cap T^{-n}V \neq \emptyset \quad \square$$

## 4 Coefficients de Lyapunov

### 4.1 Espace des phases

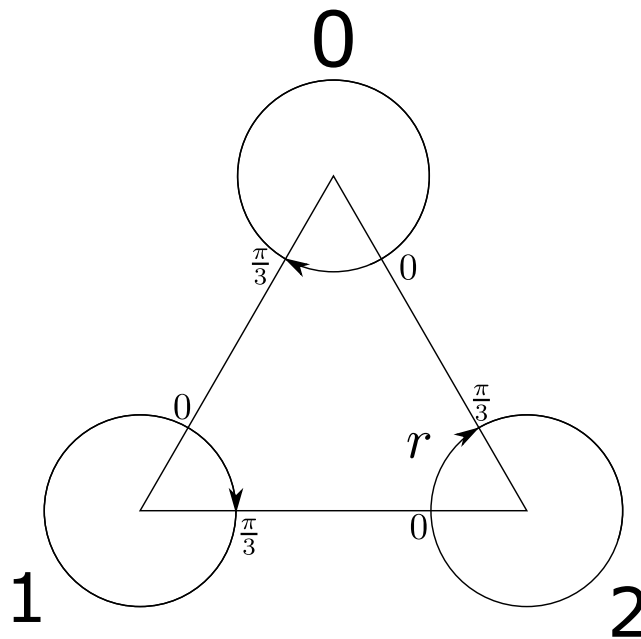
Lorsque  $x = (q, \vec{v})$  avec  $q \in \partial Q$ , on peut écrire  $x$  en paramétrant le cercle  $C_i$  auquel  $q$  appartient, et définissant la vitesse selon la normale au point  $q$ . On pourra donc définir l'espace

des phases  $\bigcup_i [a_i, b_i] \times [-\frac{\pi}{2}, \frac{\pi}{2}]$  où les  $[a_i, b_i]$  sont des intervalles disjoints qui paramétrisent chacun des cercles  $C_i$ , et par la suite, on pourra aussi écrire  $x = (r, \phi)$ .



Paramétrisation de  $x = (q, \vec{v})$

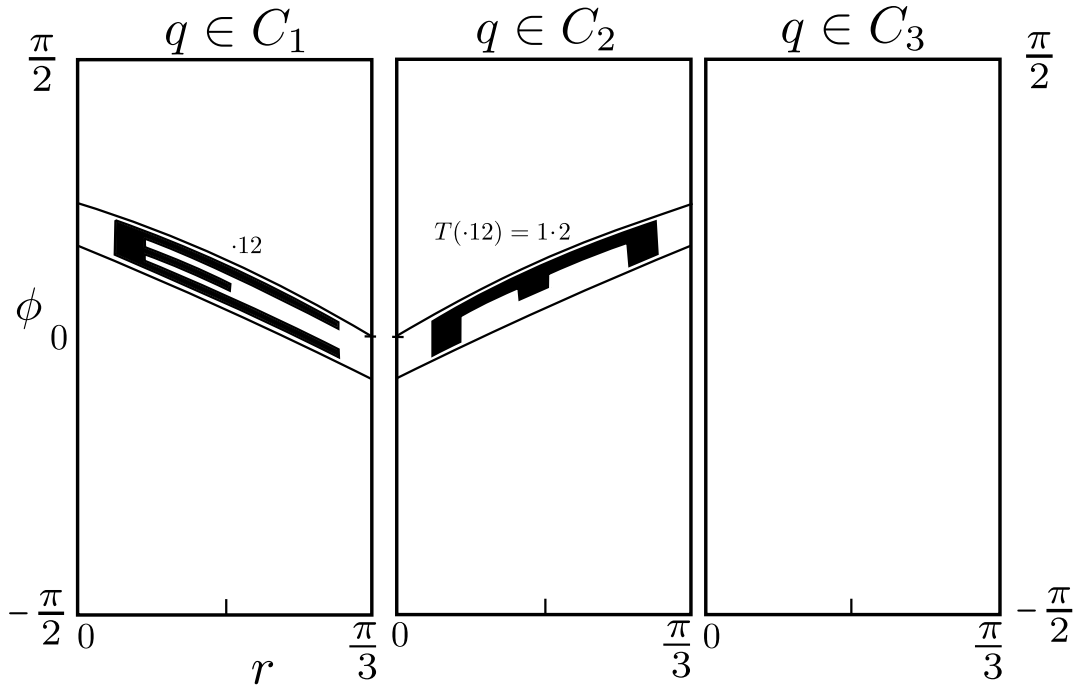
L'espace des phases fournit alors une nouvelle représentation de la transformation  $T$  et de l'ensemble récurrent, qui encourage à prendre la convention suivante pour les paramétrisations de  $r$  :



Convention prise pour  $r$  pour la représentation dans l'espace des phases

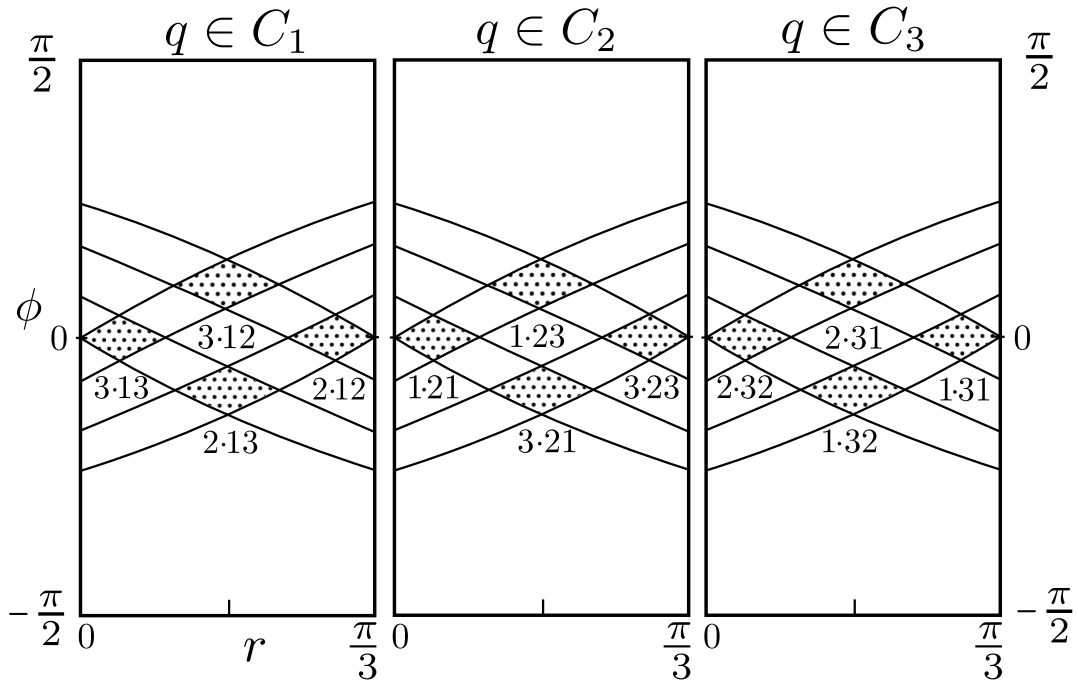
Pour comprendre comment fonctionne la transformation  $T$  dans l'espace des phases, voici un premier exemple sur  $\cdot 12$ , l'ensemble des suites de  $\Sigma_A$  telles que  $s_0 = 1$  et  $s_2 = 2$ :





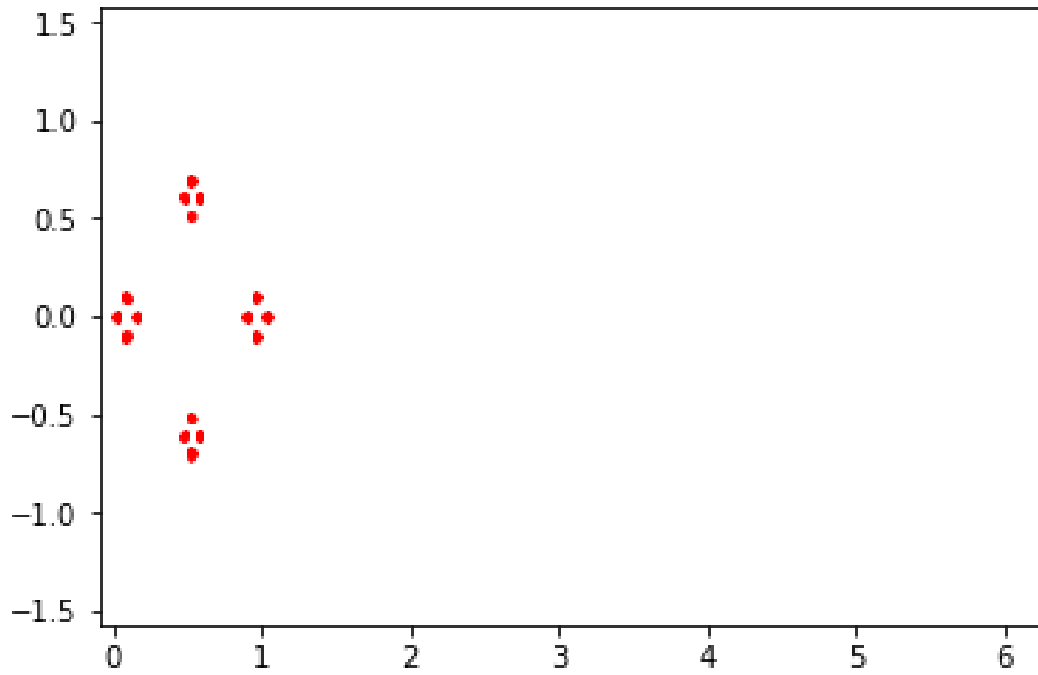
$1 \cdot 2$ , image dans l'espace des phases de  $\cdot 12$ , ensemble des suites telles que  $s_0 = 1$  et  $s_1 = 2$ .

On peut donc chercher à localiser l'espace récurrent en regardant les contraintes qu'il doit satisfaire en tant que sous-ensemble de la partition de  $\Sigma_A$  de la forme  $(1 \cdot 23) \sqcup \dots \sqcup (3 \cdot 21)$  (portions en losanges avec des poids) :



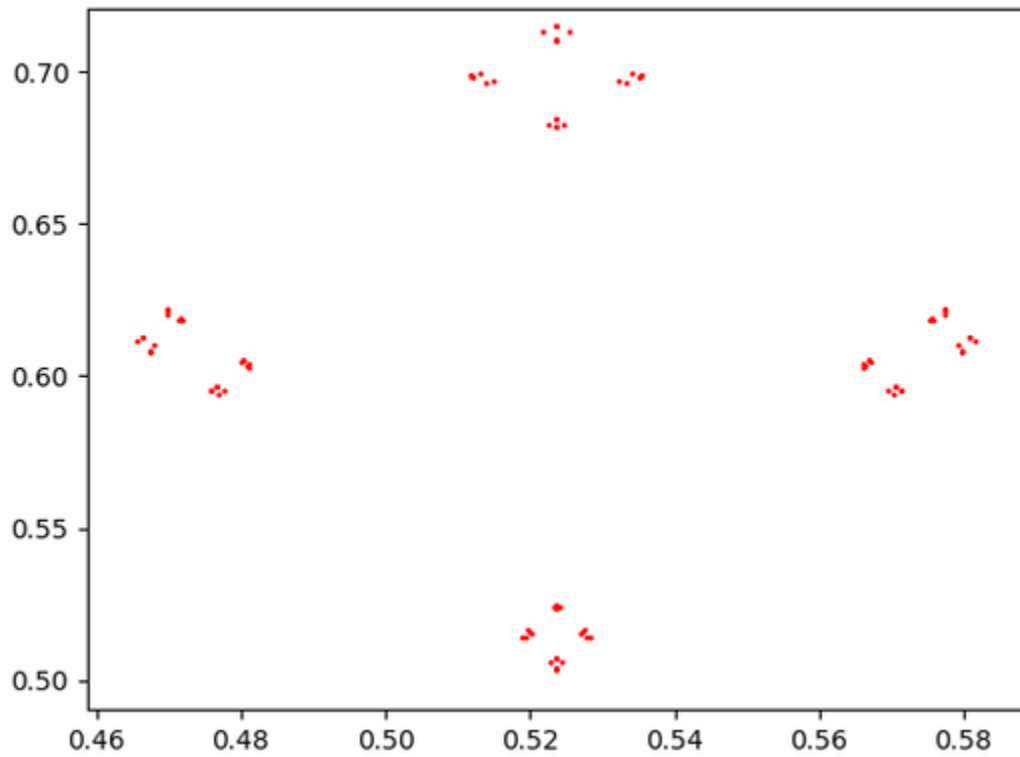
L'espace récurrent se situe dans les portions en losanges avec des poids.

Pour approcher l'espace récurrent, on peut aussi regarder l'ensemble des suites périodiques de périodes inférieures ou égales à  $n$ , voici ce que cela donne au niveau du premier obstacle dans l'espace des phases quand  $n=9$  :



Représentation dans l'espace des phases des périodes de  $A_3$  de taille 9 et moins (Voir code B).

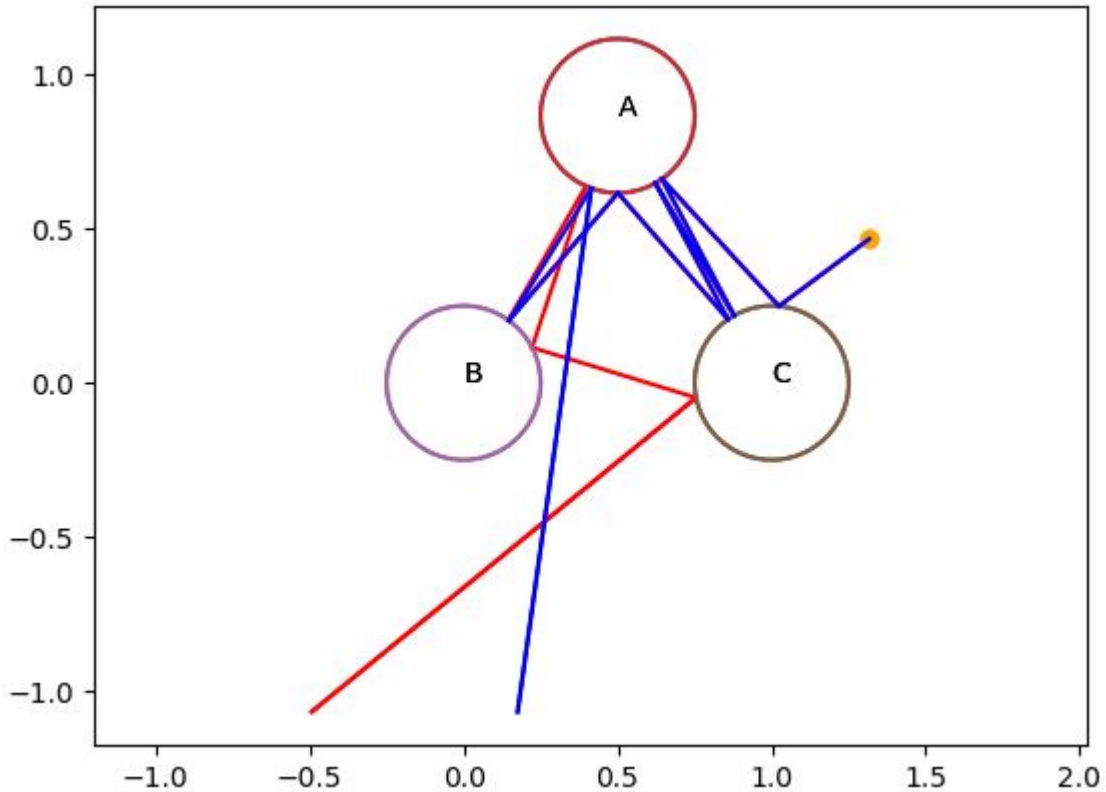
En regardant de plus près les points on remarque bien cet aspect d'espace de Cantor :



Représentation dans l'espace des phases des périodes de  $A_3$  de taille 9 et moins lorsque l'on se rapproche d'un cluster de points (Voir code B).

## 4.2 Calcul des coefficients de Lyapunov

Nous allons maintenant nous intéresser aux exposants de Liapunov de notre système. Un exposant de Liapunov permet de quantifier la stabilité ou l'instabilité du système (voir [Wil17, BL85]). Puisque nous sommes ici dans un système chaotique, on s'attend à ce que les calculs de nos coefficients de Liapunov nous donne des résultats positifs.



Représentation de deux trajectoires ayant un écart angulaire initial variant de  $10^{-7}$  (Voir code A).

Nous avons ici représenté en rouge une trajectoire effectuant 10 rebonds avant de partir à l'infini. La trajectoire en bleu part du même point que la trajectoire en rouge mais avec une différence angulaire de  $10^{-7}$ . On observe que la trajectoire bleu part à l'infini après avoir suivi la trajectoire rouge sur les 8 premiers obstacles.

Grâce à cette représentation, on peut approximer l'exposant de Liapunov grâce à la formule  $d(T^n x, T^n y) \approx \exp(\lambda n) d(x, y)$  avec  $\lambda$  l'exposant de Liapunov du système au point  $x$ .

Les 2 trajectoires se séparent après 8 obstacles, on obtient donc que  $\lambda(x) \approx \frac{1}{n} \times \ln\left(\frac{d(T^n x, T^n y)}{d(x, y)}\right) \approx \frac{7}{8} \times \ln(10) \approx 2,01$ .

Nous allons maintenant nous placer dans l'espace  $(K, T)$  que nous allons munir d'une mesure  $\mu$  défini sur l'espace conjugué  $(\Sigma_{A_3}, \sigma_{A_3})$  par : à un obstacle  $i \in \{1, 2, 3\}$ , on donne une probabilité  $\frac{1}{2}$  de rejoindre chacun des 2 autres obstacles pour le prochain rebond.

**Proposition 21.** 1.  $\lambda(x) = \lim_{n \rightarrow +\infty} \frac{1}{n} \ln \|D_x T^n\| \mu - pp$

2. Le coefficient de Liapunov de notre système existe et est constant  $\mu$ -presque partout.

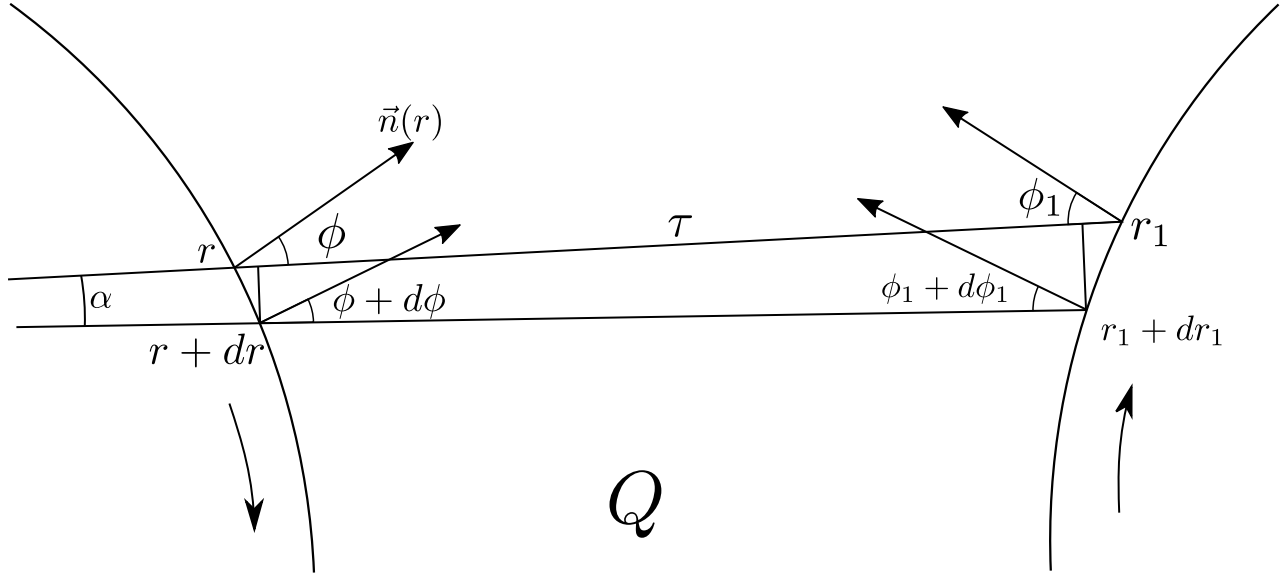
*Preuve.* 1. C'est le théorème d'Oseledets que nous admettrons ici (voir [CM06]).

2. On déduit du premier point que  $\lambda$  est  $T$  invariant c'est à dire  $\lambda \circ T = \lambda$ . De plus  $\mu$  est ergodique et  $T$  invariante donc  $\lambda$  est constant  $\mu - pp$ . □

**Proposition 22.** La différentielle de  $T$  est donnée, pour tout  $x = (r, \phi)$ , par :

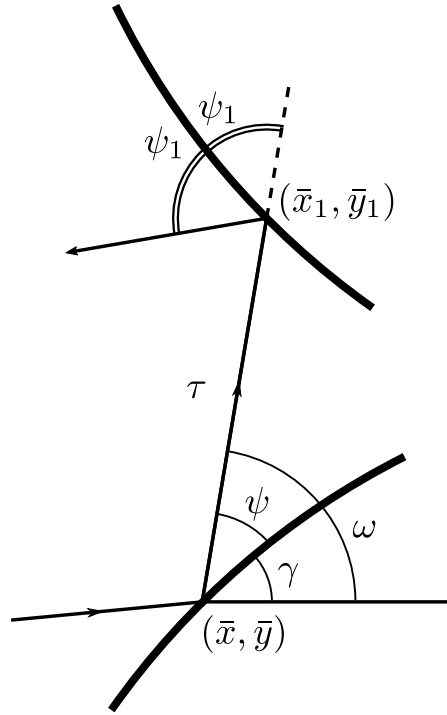
$$D_x T = \frac{-1}{\cos(\phi_1)} \begin{pmatrix} -1 & \tau \mathcal{K} + \cos(\phi) & \tau \\ \tau \mathcal{K} \mathcal{K}_1 + \mathcal{K} \cos(\phi_1) + \mathcal{K}_1 \cos(\phi) & \tau \mathcal{K}_1 + \cos(\phi_1) \end{pmatrix}$$

où  $\mathcal{K}$  et  $\mathcal{K}_1$  sont les courbures aux points  $x$  et  $T(x)$ .



Représentation des petites variations

*Preuve.* Soit  $(r, \phi)$  avec  $r$  l'abscisse curviligne et  $\phi$  l'angle à la normale, soit  $(r_1, \phi_1)$  l'image de  $(r, \phi)$  par  $T$ . Soit  $\mathcal{K}(r)$  la courbure d'un cercle (celle-ci étant l'inverse de son rayon). Soit  $(\bar{x}, \bar{y})$  et  $(\bar{x}_1, \bar{y}_1)$  les coordonnées cartésiennes respectives de  $(r, \phi)$  et  $(r_1, \phi_1)$ . Les angles  $\omega, \gamma$  et  $\psi$  sont quant à eux définis sur le dessin ci dessous:



Introduction de  $(\bar{x}, \bar{y})$ ,  $(\bar{x}_1, \bar{y}_1)$ ,  $\psi$ ,  $\psi_1, \omega, \gamma$

On a tout d'abord les relations :

$$\bar{x}_1 = \bar{x} + \tau \cos(\omega) \quad (3)$$

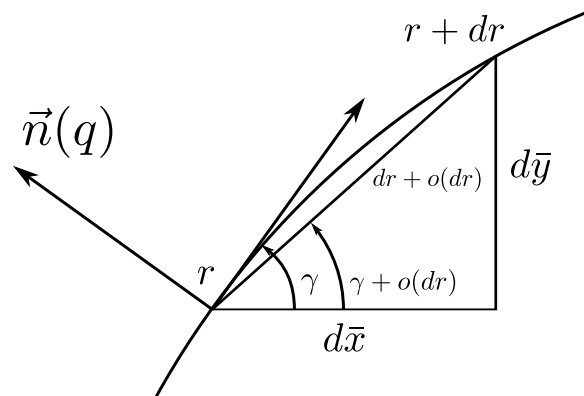
$$\bar{y}_1 = \bar{y} + \tau \sin(\omega) \quad (4)$$

$$\psi = \frac{\pi}{2} - \phi \quad (5)$$

On a aussi (voir dessin ci dessous) :

$$d\bar{x} = \cos(\gamma)dr \quad (6)$$

$$d\bar{y} = \sin(\gamma)dr \quad (7)$$



Calcul de  $d\bar{x}$  et  $d\bar{y}$

Et par la caractérisation de la courbure :

$$d\gamma = -\mathcal{K}dr \quad (8)$$

Par définition de  $\gamma$  et  $\psi$  on a aussi que:

$$\gamma + \psi = \omega = \gamma_1 - \psi_1$$

En différenciant et en utilisant (8) on a :

$$-\mathcal{K}dr + d\psi = d\omega = -\mathcal{K}_1dr_1 - d\psi_1 \quad (9)$$

En différenciant les équations obtenues en (3) et (4) on a :

$$d\bar{x}_1 = d\bar{x} + \cos(\omega)\tau \quad (10)$$

$$d\bar{y}_1 = d\bar{y} + \sin(\omega)\tau \quad (11)$$

En utilisant les relations (6) et (7) cela donne:

$$\cos(\gamma_1)dr_1 = \cos(\gamma)dr + \cos(\omega)d\tau - \tau \sin(\omega)d\omega$$

$$\sin(\gamma_1)dr_1 = \sin(\gamma)dr + \sin(\omega)d\tau + \tau \cos(\omega)d\omega$$

Donc:

$$\cos(\gamma_1)dr_1 - \cos(\gamma)dr = \cos(\omega)d\tau - \tau \sin(\omega)d\omega \quad (12)$$

$$\sin(\gamma_1)dr_1 - \sin(\gamma)dr = \sin(\omega)d\tau + \tau \cos(\omega)d\omega \quad (13)$$

A présent en faisant  $\cos(\omega) \times (13) - \sin(\omega) \times (12)$  et utilisant la relation (9) on a :

Dans le membre de gauche :

$$\begin{aligned} & -\cos(\omega) \sin(\omega - \psi)dr + \sin(\omega + \psi_1) \cos(\omega)dr_1 + \sin(\omega) \cos(\omega - \psi)d - \sin(\omega) \cos(\omega + \psi_1)dr_1 \\ & = (\cos(\omega) \sin(\omega + \psi_1) - \sin(\omega) \cos(\omega + \psi_1))dr_1 + (\sin(\omega) \cos(\omega - \psi) - \sin(\omega - \psi) \cos(\omega))dr \\ & = \sin(\omega + \psi_1 - \omega)dr_1 + \sin(\omega - (\omega - \psi))dr \\ & = \sin(\psi_1)dr_1 + \sin(\psi)dr \end{aligned}$$

Dans le membre de droite:

$$\cos(\omega) \sin(\omega)d\tau + \tau \cos^2(\omega)d\omega - \sin(\omega) \cos(\omega)d\tau + \tau \sin^2(\omega)d\omega = \tau d\omega$$

Cela nous donne alors:

$$\sin(\psi_1)dr_1 + \sin(\psi)dr = \tau d\omega \quad (14)$$

On utilise ensuite les égalités obtenue en (9) :

$$\sin(\psi_1)dr_1 + \sin(\psi)dr = -\tau\mathcal{K}dr + \tau d\psi \quad (15)$$

$$\iff \cos(\phi_1)dr_1 + \cos(\phi)dr = -\tau\mathcal{K}dr - \tau d\phi \quad (16)$$

$$\iff \cos(\phi_1)\mathcal{K}_1dr_1 = (-\tau\mathcal{K}_1\mathcal{K} - \cos(\phi)\mathcal{K}_1)dr - \mathcal{K}_1\tau d\phi \quad (17)$$

$$\iff \cos(\phi_1)(d\phi_1 + \mathcal{K}dr + d\phi) = (-\tau\mathcal{K}_1\mathcal{K} - \cos(\phi)\mathcal{K}_1)dr - \mathcal{K}_1\tau d\phi \quad (18)$$

$$\iff -\cos(\phi_1)d\phi_1 = (\tau\mathcal{K}\mathcal{K}_1 + \mathcal{K} \cos(\phi_1) + \cos(\phi)\mathcal{K}_1)dr + (\mathcal{K}_1\tau + \cos(\phi_1))d\phi \quad (19)$$

Enfin l'équation (16) et l'équation (19) nous donnent:

$$D_x T = \frac{-1}{\cos(\phi_1)} \begin{pmatrix} \tau \mathcal{K} + \cos(\phi) & \tau \\ \tau \mathcal{K} \mathcal{K}_1 + \mathcal{K} \cos(\phi_1) + \mathcal{K}_1 \cos(\phi) & \tau \mathcal{K}_1 + \cos(\phi_1) \end{pmatrix}$$

□

Sachant que l'ensemble des suites périodiques est dense dans  $K$ , une bonne estimation du coefficient d Lyapunov est de calculer :

$$\frac{1}{K} \sum_{x \text{ point périodique de période } n} \ln(\lambda_+(x)) \quad (20)$$

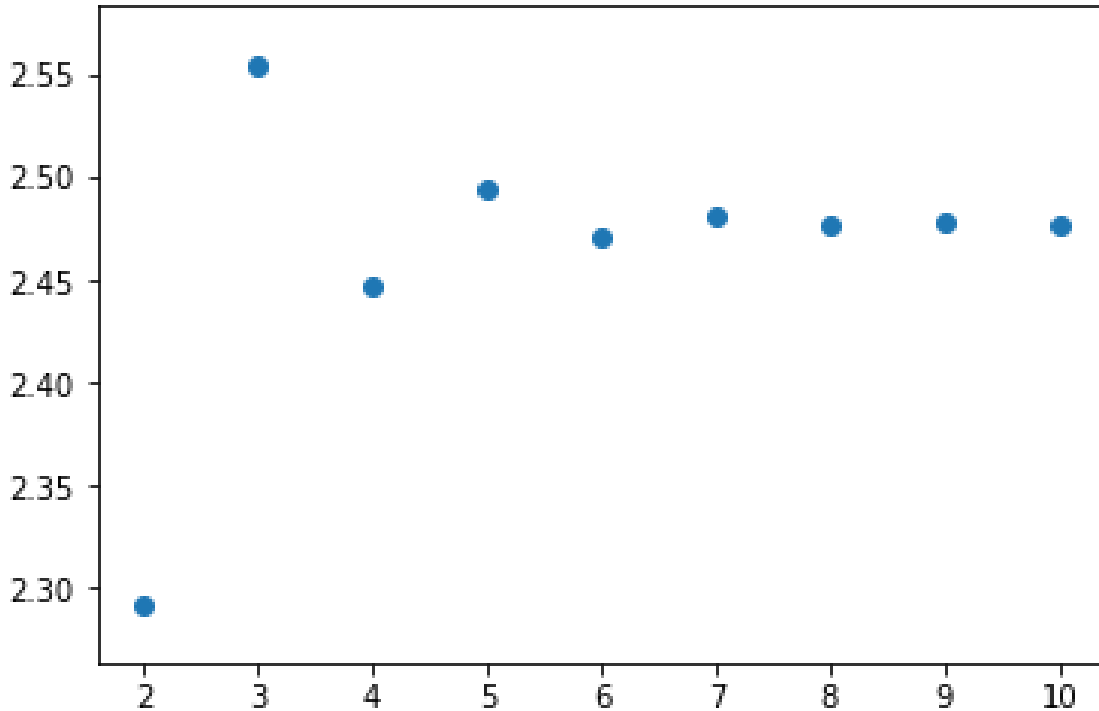
Où  $\lambda_+(x)$  est la plus grande valeur propre de  $DT^n(x)$  et  $K$  est le nombre de points périodiques de période  $n$ .

Pour  $x$  périodique de période  $n$ , on sait aussi que  $\lambda_+(x)$  est le même pour les  $T^i(x)$  pour  $i$  allant de 0 à  $p$ ,  $p$  étant la longueur de la période primitive associée à l'orbite de  $x$ . Cela vient du fait que les matrices  $D_{T^i(x)} T^n$  sont conjuguées entre elles. Ainsi au lieu de parler de  $\lambda_+(x)$  on peut parler directement de  $\lambda_+(s)$  où  $s$  est une période.

Ainsi on peut estimer le coefficient de Lyapunov avec la formule suivante :

$$\frac{1}{K} \sum_{s : \text{période de longueur } n} \ln(\lambda_+(s)) \times l(p) \quad (21)$$

Où  $l(p)$  est la longueur de la période primitive associé au mot engendré par  $s$ . Au plus  $n$  est grand, au plus la précision de l'estimation du coefficient de Lyapunov est grande, c'est précisément comme cela que nous estimons le coefficient de liapunov pour notre système :



Exposant de Lyapunov pour les périodes 2 à 10 (Voir code C).

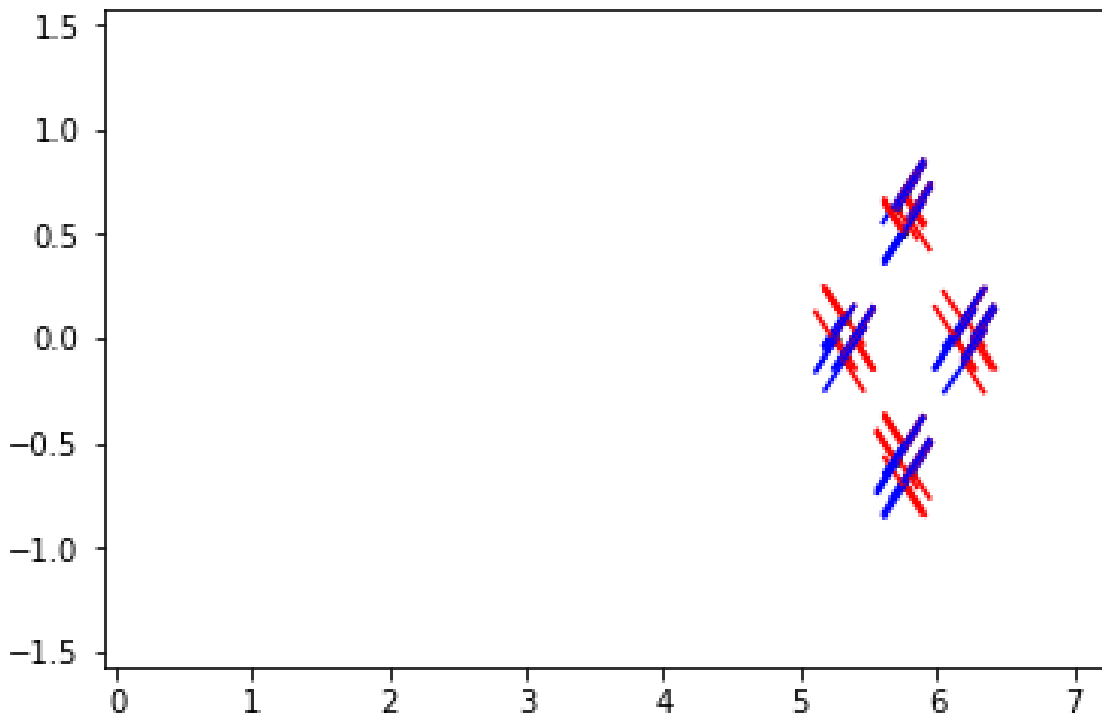
Nous pouvons maintenant tracer la courbe de l'exposant (trouvé avec la formule proposée) en fonction de la période fixée  $n$  des suites étudiées et regarder sa limite suffit pour déterminer l'exposant de Liapunov. En effet si on note  $E_n$  l'ensemble des suites de période  $n$  on a nécessairement:

$$\bigcup_{k=1}^n E_k \subset E_n \quad (22)$$

S'intéresser donc au coefficient limite trouvé avec la moyenne sur les suites périodiques de périodes inférieures à  $n$  est équivalent à s'intéresser à la limite trouvée sur celle de période exactement  $n$ .

Notre exposant de Liapunov de notre système est environ égal à 2,47. ce qui est assez proche du 2,0 estimé précédemment.

Enfin pour  $x$  un point de  $K$ ,  $D_x T^n$  indique comment  $T$  transforme l'espace. Les vecteurs propres associés à la plus grande et la plus petite valeur propre de  $D_x T^n$  sont respectivement une direction d'expansion et une autre de contraction. En récupérant et en traçant ces vecteurs dans l'espace des phases d'un obstacle, on peut se faire une idée de la déformation de  $K$  par  $T$  :



Représentation dans l'espace des phases des périodes de  $A_3$  de taille 7 avec les vecteurs propres associés à la plus grande et la plus petite valeur propre de  $DT^n(x)$ , respectivement en rouge et en bleu (Voir code C).



## A Codage de $T$

```
1 import matplotlib.pyplot as plt
2 import numpy as np
3 import random as rd
4
5 ### Les centres des obstacles A, B, C ainsi que le rayon de chacune des ces
6 ↪ boules
7 A=(0.5,3**0.5/2)
8 B=(0,0)
9 C=(1,0)
10 Rayons=[0.25,0.25,0.25]
11
12 Noms=['A','B','C']
13 obstacles=[A,B,C]
14 ### Definition de la zone d'observation
15 Centre=(0.5,3**0.5/4)
16 u,v=Centre
17 Rlim=1.5
18
19 ## Tirage d'un point de depart et son angle de vitesse aleatoire qui ne se
20 ↪ trouve pas dans les disques obstacles
21
22
23 def test_tirage(x0,y0,obstacles,Rayons):# Teste si le point (x0,y0) se trouve
24 ↪ dans un des obstacles
25  #(x0,y0) est le point a tester
26  #obstacles est la liste des centres des obstacles
27  #Rayons est la liste des rayons respectifs des obstacles
28 for i in range(len(obstacles)) :
29     if np.linalg.norm(np.array(obstacles[i])-np.array((x0,
30 ↪ y0))))<Rayons[i]:
31         return True
32     return False
33
34 def tirage_traj_general(Rlim,obstacles,Centre,Rayons):
35  #Centre est le centre du domaine d'observation (c'est un carre de cote
36 ↪ 2*Rlim et de "centre" Centre !)
37  #Rlim est la demi longueur d'un cte du carre d'observation
38  #obstacles est la liste des centres des obstacles
39  #Rayons est la liste des rayons respectifs des obstacles
40 u,v=Centre
41 a=rd.uniform(u-Rlim,v+Rlim)
```

```

41     b=rd.uniform(u-Rlim,v+Rlim)
42     alpha=rd.uniform(-np.pi,np.pi)
43
44     while test_tirage(a,b,obstacles,Rayons) :
45         a=rd.uniform(u-Rlim,v+Rlim)
46         b=rd.uniform(u-Rlim,v+Rlim)
47
48     return a,b,alpha
49
50     ##Fonction de traage des obstacles la fonction trace un cercle de centre
51     ↪ (x1,x2) et de rayon r
52
53     def trace_cercle(x1,x2,r):
54          #(x1,x2) le centre du cercle a tracer
55          #r son rayon
56         theta=np.linspace(0,2*np.pi,100)
57         xx1=x1+r*np.cos(theta)
58         xx2=x2+r*np.sin(theta)
59         plt.plot(xx1,xx2)
60
61     ##Calcul de l'intersection de la trajectoire avec la zone limite
62     ↪ d'observation
63
64     def calculator_infini(x0,y0,alpha,Centre,Rlim):
65          #(x0,y0) sont les coordonnees du point de depart
66          #alpha est l'angle de la trajectoire (en radian dans ]-pi,pi])
67          #Centre est le centre du domaine d'observation (c'est un carre de cote
68          ↪ 2*Rlim et de "centre" Centre !)
69          #Rlim est la demi longueur d'un cte du carre d'observation
70         u,v=Centre
71         intersec=[]
72         x1=(v+Rlim-y0)/np.tan(alpha)+x0
73         if x1>=u-Rlim and x1<=u+Rlim :
74             intersec.append((x1,v+Rlim))
75         x2=(v-Rlim-y0)/np.tan(alpha)+x0
76         if x2>=u-Rlim and x2<=u+Rlim :
77             intersec.append((x2,v-Rlim))
78         y3=np.tan(alpha)*(u+Rlim-x0)+y0
79         if y3>=v-Rlim and y3<=v+Rlim :
80             intersec.append((u+Rlim,y3))
81         y4=np.tan(alpha)*(u-Rlim-x0)+y0
82         if y4>=v-Rlim and y4<=v+Rlim :
83             intersec.append((u-Rlim,y4))
84         bordx0,bordy0=intersec[0]
85         ps=np.cos(alpha)*(bordx0-x0)+np.sin(alpha)*(bordy0-y0)
86         if ps>=0:
87             return intersec[0]

```

```

85     return intersec[1]
86
87     ##Fonction qui trace un segment entre deux points
88
89     def trace_segment(point1,point2,color1):
90         #point1 est la premiere extremite du segment
91         #point2 est la seconde extremite du segment
92         a,b=point1
93         c,d=point2
94         plt.plot(np.array((a,c)),np.array((b,d)),color=color1)
95
96     ##Fonction qui trace les obstacles
97
98     def trace_obstacles(obstacles,Noms,Rayons):
99         #obstacles est la liste des centres des obstacles
100        #Noms est la liste des noms respectifs des obstacles
101        #Rayons est la liste des rayons respectifs des obstacles
102        for i in range(len(obstacles)):
103            trace_cercle(*obstacles[i],Rayons[i])
104            plt.text(*obstacles[i],Noms[i],color='black')
105        plt.axis('equal')
106
107    ##Fonction qui remet un angle dans ]-pi,pi]
108
109    def remet_le(angle):
110        #angles est un angle en radian
111        while angle<=-np.pi:
112            angle+=2*np.pi
113        while angle>np.pi:
114            angle-=2*np.pi
115        return angle
116
117
118    ##Calcul de l'angle de rebond sur un obstacle circulaire
119
120    def angle_reflexion(a1,a2,xc,yc,alpha):
121         #(a1,a2) est le centre du cercle
122         #(xc,yc) est un point sur le cercle
123         #alpha est l'angle de la trajectoire (en radian dans ]-pi,pi] )
124        return (remet_le(np.pi+2*np.arctan((a2-yc)/(a1-xc))-alpha))
125
126    ##Fonction qui calcule l'intersection entre la trajectoire et un des
127    ↪ obstacles(elle renvoie aussi quel est l'obstacle), elle renvoie "infini"
128    ↪ si il n'y en a pas
129
130    def calculator(obstacles,Rayons,x0,y0,alpha,delta):
131        #obstacles est la liste des centres des obstacles

```

```

130 #Rayons est la liste des rayons respectifs des obstacles
131 #(x0,y0) sont les coordonnees du point de depart
132 #alpha est l'angle de la trajectoire (en radian dans ]-pi,pi] )
133 #delta est un parametre qui est propre a cette fonction et a la fonction
    ↪ suivante
134 #Centre est le centre du domaine d'observation (c'est un carre de cote
    ↪ 2*Rlim et de "centre" Centre !)
135 #Rlim est la demi longueur d'un cte du carre d'observation
136 contact="infini"
137 record="infini"
138 boule="Pas de boule touchee"
139 for i in range(len(obstacles)) :
140     a1,a2=obstacles[i]
141     if abs(np.sin(alpha)*(a1-x0)-np.cos(alpha)*(a2-y0)) < Rayons[i] and
    ↪ np.cos(alpha)*(a1-x0)+np.sin(alpha)*(a2-y0)>delta:
142         a=1+np.tan(alpha)**2
143         b=-2*a1-2*(np.tan(alpha)**2)*x0+2*np.tan(alpha)*(y0-a2)
144         c=a1**2+(x0**2)*np.tan(alpha)**2-2*np.tan(alpha)*x0*(y0-a2)+(y0-
    ↪ a2)**2-Rayons[i]**2
145         det=b**2-4*a*c
146         racine1=(-b-np.sqrt(det))/(2*a)
147         racine2=(-b+np.sqrt(det))/(2*a)
148         y1=np.tan(alpha)*(racine1-x0)+y0
149         y2=np.tan(alpha)*(racine2-x0)+y0
150         if np.linalg.norm(np.array([x0,y0])-np.array([racine1,
    ↪ y1]))<np.linalg.norm(np.array([x0,y0])-np.array([racine2,
    ↪ y2])):
151             contact=(racine1,y1)
152         else :
153             contact=(racine2,y2)
154         if record=="infini" :
155             record=contact
156             boule=obstacles[i]
157         elif np.linalg.norm(np.array((x0,y0))-
    ↪ np.array(record))>np.linalg.norm(np.array((x0,y0))-
    ↪ np.array(contact)):
158             record=contact
159             boule=obstacles[i]
160         #print(record)
161     return record,boule
162
163
164 ##Fonction qui trace le segment entre le depart et l'intersection avec un
    ↪ obstacle ou la limite de la zone d'observation
165
166 def avance(obstacles,Rayons,x0,y0,alpha,delta,Centre,Rlim,color):
167     #obstacles est la liste des centres des obstacles

```

```

168     #Rayons est la liste des rayons respectifs des obstacles
169     #(x0,y0) sont les coordonnees du point de depart
170     #alpha est l'angle de la trajectoire (en radian dans ]-pi,pi] )
171     #delta est un parametre qui est propre a cette fonction et a la fonction
    ↪ suivante
172     contact,_=calculator(obstacles,Rayons,x0,y0,alpha,delta)
173     if contact=='infini' :
174         trace_segment((x0,y0),calculator_infini(x0,y0,alpha,Centre,Rlim),
    ↪ color)
175
176     else:
177         trace_segment((x0,y0),contact,color)
178         #plt.plot(*contact,color='red',marker='o')
179
180 ##Fonction qui affiche la trajectoire d'un point sur le billard a partir d'un
    ↪ point et une direction de depart aleatoire
181
182 def rebond(obstacles,Rayons,Noms,Centre,Rlim):
183     #obstacles est la liste des centres des obstacles
184     #Rayons est la liste des rayons respectifs des obstacles
185     #Noms est la liste des noms respectifs des obstacles
186     #Centre est le centre du domaine d'observation (c'est un carre de cote
    ↪ 2*Rlim et de "centre" Centre !)
187     #Rlim est la demi longueur d'un cte du carre d'observation
188     trace_obstacles(obstacles,Noms,Rayons)
189     x0,y0,alpha=tirage_traj_general(Rlim,obstacles,Centre,Rayons)
190     print(x0,y0,alpha)
191     plt.plot(x0,y0,color='red',marker='o')
192     u,boule=calculator(obstacles,Rayons,x0,y0,alpha,0)
193     n=0
194     avance(obstacles,Rayons,x0,y0,alpha,0,Centre,Rlim)
195     while u != 'infini' and n<20 :
196         a1,a2=boule
197         x0,y0,alpha=*u,angle_reflexion(a1,a2,*u,alpha)
198         u,boule=calculator(obstacles,Rayons,x0,y0,alpha,1e-6)
199         avance(obstacles,Rayons,x0,y0,alpha,1e-6,Centre,Rlim)
200         print("trajectoire:  x = ",u[0]," y = ",u[1]," alpha = ",u[2])
201         n+=1
202     avance(obstacles,Rayons,x0,y0,alpha,0,Centre,Rlim)
203     plt.show()
204
205 ##Fonction qui affiche la trajectoire d'un point sur le billard a partir d'un
    ↪ point et une direction de depart choisie
206
207 def rebond_deterministe(x0,y0,alpha,obstacles,Rayons,Noms,Centre,Rlim,color):
208     #(x0,y0) sont les coordonnees du point de depart
209     #alpha est l'angle de la trajectoire (en radian dans ]-pi,pi] )

```

```

210  #obstacles est la liste des centres des obstacles
211  #Rayons est la liste des rayons respectifs des obstacles
212  #Noms est la liste des noms respectifs des obstacles
213  #Centre est le centre du domaine d'observation (c'est un carre de cote
    ↪ 2*Rlim et de "centre" Centre !)
214  #Rlim est la demi longueur d'un cte du carre d'observation
215  trace_obstacles(obstacles,Noms,Rayons)
216  plt.plot(x0,y0,color='orange',marker='o')
217  u,boule=calculator(obstacles,Rayons,x0,y0,alpha,0)
218  n=0
219  avance(obstacles,Rayons,x0,y0,alpha,0,Centre,Rlim,color)
220  while u != 'infini' and n<20 :
221      a1,a2=boule
222      x0,y0,alpha=*u,angle_reflexion(a1,a2,*u,alpha)
223      #print('on repart  :',x0,y0,alpha)
224      u,boule=calculator(obstacles,Rayons,x0,y0,alpha,1e-10)
225      avance(obstacles,Rayons,x0,y0,alpha,1e-10,Centre,Rlim,color)
226      #print(u)
227      n+=1
228  avance(obstacles,Rayons,x0,y0,alpha,0,Centre,Rlim,color)
229
230
231  ##Fonction qui affiche la trajectoire d'un point sur le billard a partir d'un
    ↪ point et une direction de depart aleatoire parmi celles qui
    ↪ s'intersectent au moins une fois
232
233  def rebond_bon(obstacles,Rayons,Noms,Centre,Rlim,color):
234      #alpha est l'angle de la trajectoire (en radian dans ]-pi,pi] )
235      #obstacles est la liste des centres des obstacles
236      #Rayons est la liste des rayons respectifs des obstacles
237      #Noms est la liste des noms respectifs des obstacles
238      #Centre est le centre du domaine d'observation (c'est un carre de cote
    ↪ 2*Rlim et de "centre" Centre !)
239      #Rlim est la demi longueur d'un cte du carre d'observation
240      trace_obstacles(obstacles,Noms,Rayons)
241      x0,y0,alpha=tirage_traj_general(Rlim,obstacles,Centre,Rayons)
242      u,boule=calculator(obstacles,Rayons,x0,y0,alpha,0)
243      while u=='infini':
244          x0,y0,alpha=tirage_traj_general(Rlim,obstacles,Centre,Rayons)
245          u,boule=calculator(obstacles,Rayons,x0,y0,alpha,0)
246      plt.plot(x0,y0,color='orange',marker='o')
247      print("trajectoire:  x = ",x0," y = ",y0," alpha = ",alpha)
248      n=0
249      avance(obstacles,Rayons,x0,y0,alpha,0,Centre,Rlim,color)
250      while u != 'infini' and n<20 :
251          a1,a2=boule
252          x0,y0,alpha=*u,angle_reflexion(a1,a2,*u,alpha)

```

```

253     u,boule=calculator(obstacles,Rayons,x0,y0,alpha,1e-6)
254     avance(obstacles,Rayons,x0,y0,alpha,1e-6,Centre,Rlim,color)
255     #print(u)
256     n+=1
257     avance(obstacles,Rayons,x0,y0,alpha,0,Centre,Rlim,color)
258     plt.show()
259
260 ##Fonction qui affiche la trajectoire d'un point sur le billard a partir d'un
261 ↪ point et une direction de depart aleatoire parmi celles qui
262 ↪ s'intersectent au moins n fois
263
264 ##Fonction de comptage de rebonds
265
266 def compte_rebonds(x0,y0,alpha,obstacles,Rayons):
267      #(x0,y0) sont les coordonnees du point de depart
268      #alpha est l'angle de la trajectoire (en radian dans ]-pi,pi] )
269      #obstacles est la liste des centres des obstacles
270      #Rayons est la liste des rayons respectifs des obstacles
271     u,boule=calculator(obstacles,Rayons,x0,y0,alpha,0)
272     n=0
273     while u != 'infini' and n<100:
274         a1,a2=boule
275         x0,y0,alpha=*u,angle_reflexion(a1,a2,*u,alpha)
276         u,boule=calculator(obstacles,Rayons,x0,y0,alpha,1e-6)
277         n+=1
278     return n
279
280 ##Fonction qui trouve et trace une trajectoire avec au moins n rebonds
281
282 def n_rebonds_svp(obstacles,Noms,Rayons,n,Centre,Rlim,color):
283      #obstacles est la liste des centres des obstacles
284      #Rayons est la liste des rayons respectifs des obstacles
285      #Noms est la liste des noms respectifs des obstacles
286      #Nombre minimal de rebonds sur les obstacles desires
287      #Centre est le centre du domaine d'observation (c'est un carre de cote
288      ↪ 2*Rlim et de "centre" Centre !)
289      #Rlim est la demi longueur d'un cte du carre d'observation
290     trace_obstacles(obstacles,Noms,Rayons)
291     x0,y0,alpha=tirage_traj_general(Rlim,obstacles,Centre,Rayons)
292     while compte_rebonds(x0,y0,alpha,obstacles,Rayons)<n:
293         x0,y0,alpha=tirage_traj_general(Rlim,obstacles,Centre,Rayons)
294         print(" x = ",x0," y = ",y0," alpha = ",alpha)
295         print("nb_rebond",compte_rebonds(x0,y0,alpha,obstacles,Rayons))
296         plt.plot(x0,y0,color='orange',marker='o')
297         u,boule=calculator(obstacles,Rayons,x0,y0,alpha,0)
298         n=0

```

```

297     avance(obstacles, Rayons, x0, y0, alpha, 0, Centre, Rlim, color)
298     while u != 'infini' and n < 20 :
299         a1, a2 = boule
300         x0, y0, alpha = *u, angle_reflexion(a1, a2, *u, alpha)
301         #print('on repart :', x0, y0, alpha)
302         u, boule = calculator(obstacles, Rayons, x0, y0, alpha, 1e-10)
303         avance(obstacles, Rayons, x0, y0, alpha, 1e-10, Centre, Rlim, color)
304         #print(u)
305         n += 1
306     avance(obstacles, Rayons, x0, y0, alpha, 0, Centre, Rlim, color)
307
308
309
310
311     #n_rebonds_svp(obstacles, Noms, Rayons, 6, Centre, Rlim)
312
313
314     ###Rajoutons des obstacles
315
316
317     o_1 = (-0.5, 3**0.5/2)
318     o_2 = (0.5, 3**0.5/2)
319     o_3 = (-1, 0)
320     o_4 = (0, 0)
321     o_5 = (1, 0)
322     o_6 = (-0.5, -3**0.5/2)
323     o_7 = (0.5, -3**0.5/2)
324
325     Noms2 = [str(i) for i in range(1, 8)]
326     obstacles2 = [o_1, o_2, o_3, o_4, o_5, o_6, o_7]
327     Centre2 = (0, 0)
328     Rlim2 = 1.5
329     Rayons2 = [0.25 for i in range(7)]
330     Rayons3 = [0.3, 0.35, 0.3, 0.4, 0.2, 0.25, 0.15]
331
332
333
334
335     #n_rebonds_svp(obstacles2, Noms2, Rayons3, 23, Centre2, Rlim2)
336
337
338     #Le point de depart est en orange
339     #Le point de sortie de la trajectoire est l'extremite non marquee
340
341     #rebond_deterministe(-0.14771195289118022, 0.41724651296907145,
    ↪ 0.47435283021459895, obstacles, Rayons, Noms, Centre, Rlim)

```



```

342 #rebond_deterministe(-0.14771195289118022,0.41724651296907145,0.48,
    ↪ obstacles, Rayons, Noms, Centre, Rlim)
343 #Pour lancer un point (x0,y0) avec un angle alpha donne
344
345 print("Voici une trajectoire d'au moins 8 rebonds : " )
346 n_rebonds_svp(obstacles, Noms, Rayons, 8, Centre, Rlim, 'red')
347 plt.figure()
348 plt.show()
349
350 ##fonction qui trace deux trajectoires l'une en bleue l'autre en rouge
351
352 def trace_rebonds_deterministe(a,b,c,d,e,f,obstacles, Rayons, Noms, Centre,
    ↪ Rlim):
353     rebond_deterministe(a,b,c,obstacles, Rayons, Noms, Centre, Rlim, "red")
354     print("1 :", compte_rebonds(a,b,c,obstacles, Rayons))
355     rebond_deterministe(d,e,f,obstacles, Rayons, Noms, Centre, Rlim, "blue")
356     print("2 :", compte_rebonds(d,e,f,obstacles, Rayons))
357     plt.show()
358
359
360
361
362 print("Voici deux trajectoires proches l'une de l'autre : ")
363
364 trace_rebonds_deterministe(0.667482841472288, 0.10452278926045411,
    ↪ 0.10098578721700369,0.667482841472288, 0.10452278926045411,
    ↪ 0.10098578721700369+10**(-5),obstacles, Rayons, Noms, Centre, Rlim)
365 plt.figure()

```

## B Détermination des trajectoires périodiques

```
1 import numpy as np
2 import numpy.random as rnd
3 import matplotlib.pyplot as plt
4
5 ##Le but ici est d'effectuer un descente de gradient projette afin de trouver
6 ↪ les trajectoires associees a n'importe quel mot admissible
7
8 mot=[0,1,2]
9 obstacles=np.array([(0,0),(1,0),(0.5,3**0.5/2)])
10 rayons=np.array([0.25,0.25,0.25])
11 matrice_transition0=np.array([[0,1,1],[1,0,1],[1,1,0]])
12
13 ##Fonction qui verifie si le mot est admissible pour la matrice de transition
14 ↪ associee au systeme
15
16 def admissible(mot,matrice_transition,long_mot):
17     #mot est une liste d'elements de obstacles qui forme un mot admissible
18     ↪ pour la matrice de transition
19     #matrice_transition est la matrice de transition associee au systeme
20     #long_mot est la longueur de la liste mot
21     for i in range(long_mot):
22         if matrice_transition[mot[i%long_mot]][mot[(i+1)%long_mot]]==0:
23             return False
24     return True
25
26 ##Fonction qui projette un vecteur Y sur l'ensemble produit des cercles
27 ↪ mot[i]
28
29 def proj_vecteur(mot,Y,obstacles,rayons,long_mot):
30     #mot est une liste d'elements de obstacles qui forme un mot admissible
31     ↪ pour la matrice de transition
32     #Y est le vecteur a projeter
33     #obstacles est la liste des centres des obstacles
34     #rayons est la liste des rayons respectifs des obstacles
35     #long_mot est la longueur de la liste mot
36     for i in range(long_mot):
37         x=proj_couple(np.array((Y[2*i],Y[2*i+1])),np.array(obstacles[mot[i]]),
38             ↪ rayons[mot[i]])
39         Y[2*i]=x[0]
40         Y[2*i+1]=x[1]
41     return Y
42
43 def proj_couple(x,centre,rayon):
```

```

39     if np.array(x)[0]==np.array(centre)[0] and
    ↪     np.array(x)[1]==np.array(centre)[1]:
40         theta=2*rand.random()*np.pi
41         return centre+rayon*np.array([np.sin(theta),np.cos(theta)])
42     else:
43         return centre+rayon*(x-centre)/np.linalg.norm(x-centre)
44
45 ##Fonction gradient de l'efficacite
46
47 def grad_E(Y,long_mot):
48     #Y est le parametre de la fonction gradient
49     #long_mot est la longueur du mot
50     grad=[]
51     for i in range (long_mot):
52         i0=(i-1)%long_mot
53         i1=i
54         i2=(i+1)%long_mot
55         x0=Y[2*i0]
56         y0=Y[2*i0+1]
57         x1=Y[2*i1]
58         y1=Y[2*i1+1]
59         x2=Y[2*i2]
60         y2=Y[2*i2+1]
61         N0=np.sqrt((x0-x1)**2+(y0-y1)**2)
62         N1=np.sqrt((x1-x0)**2+(y1-y0)**2)
63         grad.append((x1-x2)/N1+(x1-x0)/N0)
64         grad.append((y1-y2)/N1+(y1-y0)/N0)
65     return np.array(grad)
66
67 ##Calcul d'une constante du pas qui optimise la complexite de la descente de
    ↪ gradient
68
69 def distance_minmax_entre_obstacles(obstacles,rayons,matrice_transition):
70     #matrice_transition est la matrice de transition du systeme
71     #obstacles est la liste des centres des obstacles
72     #rayons est la liste des rayons respectifs des obstacles
73     record_max=np.linalg.norm(np.array(obstacles[0])-
    ↪     np.array(obstacles[1]))+rayons[0]+rayons[1]
74     record_min=np.linalg.norm(np.array(obstacles[0])-
    ↪     np.array(obstacles[1]))-rayons[0]-rayons[1]
75     p=len(obstacles)
76     for i in range(p):
77         for j in range(p):
78             mot=[i,j]
79             if admissible(mot,matrice_transition,2) :

```

```

80         distance=np.linalg.norm(np.array(obstacles[mot[0]])-
      ↪ np.array(obstacles[mot[1]]))-rayons[mot[0]]-
      ↪ rayons[mot[1]]
81         if distance<record_min:
82             record_min=distance
83         elif distance > record_max:
84             record_max=distance
85     return record_min, record_max
86
87
88 def constante_de_lip(obstacles,rayons,matrice_transition,k):
89     #matrice_transition est la matrice de transition du systeme
90     #obstacles est la liste des centres des obstacles
91     #rayons est la liste des rayons respectifs des obstacles
92     record_min, record_max=distance_minmax_entre_obstacles(obstacles,rayons,
      ↪ matrice_transition)
93     return np.sqrt(k)*np.sqrt(4+(record_max**2)/record_min**2)
94
95 Lip=constante_de_lip(obstacles0,rayons0,matrice_transition0,len(mot))
96
97
98 ##Fonction de gradient projete pour trouver un argmin de l'efficacite.
99
100 #On considere qu'on se place dans la condition de non eclipsite
101 def projected_gradient_descent(mot,pas=0.0001,
      ↪ matrice_transition=np.array([[0,1,1],[1,0,1],[1,1,0]]),
      ↪ obstacles=np.array([(0,0),(1,0),(0.5,3*0.5/2)]),rayons=np.array([0.25,
      ↪ 0.25,0.25]),epsilon=1e-6,nbre_it=1000):
102     #mot est une liste d'elements de obstacles qui forme un mot admissible
      ↪ pour la matrice de transition
103     #pas est le pas de la descente de gradient projete
104     #matrice_transition est la matrice de transition du systeme
105     #obstacles est la liste des centres des obstacles
106     #rayons est la liste des rayons respectifs des obstacles
107     #esplison est le niveau de precision (pour la condition d'arrrt)
108     #nbre_it est le nombre d'iterations maximal du gradient projete (pour la
      ↪ condition d'arrrt)
109     long_mot=len(mot)
110     if not admissible(mot,matrice_transition,long_mot):
111         return False
112     theta=[rnd.random()*2*np.pi for i in range (long_mot)]
113     Y=[]
114     for i in range(long_mot):
115         Y.append(obstacles[mot[i]][0]+np.cos(theta[i])*rayons[mot[i]])
116         Y.append(obstacles[mot[i]][1]+np.sin(theta[i])*rayons[mot[i]])
117     compteur=0
118     Y=np.array(Y)

```

```

119 liste_rep=[Y]
120 while compteur==0 or (compteur<=nombre_it and
↳ np.linalg.norm(np.array(liste_rep[-1])-np.array(liste_rep[-1]
↳ 2]))>epsilon):
121     Y_int=Y-(1/Lip)*grad_E(Y,long_mot)
122     Y=np.copy(proj_vecteur(mot,Y_int,obstacles,rayons,long_mot))
123     liste_rep.append(Y)
124     compteur+=1
125     #print("nombre d'iterations :",compteur)
126     return Y
127
128
129 ##Fonction recursive qui renvoie la liste des mots de longueur: 'longueur'
↳  dans un alphabet a p elements
130
131 def enum_periode(longueur,p):
132     def recurs(longueurafaire,p,reponse):
133         if longueurafaire==0:
134             return []
135         rep=[]
136         for x in reponse :
137             for i in range(p):
138                 rep.append(x+[i])
139         return rep+recurs(longueurafaire-1,p,rep)
140     return [[i] for i in range(p)]+recurs(longueur-1,p,[[i] for i in
↳ range(p)])
141
142
143 ##Applique une rotation sur un mot
144
145 def rotate(l,n):
146     return l[n:]+l[:n]
147
148 #A partir d'un mot on cree la liste de ses rotations et de sa periode
↳  primitive
149
150
151 def rotation2(mot,long,N):
152     liste=[mot]
153     if long>1:
154         for i in range(1,long) :
155             m=mot.copy()
156             m=rotate(m,i)
157             liste.append(m)
158     K=N//long
159     for i in range(len(liste)):
160         for k in range(2,K+1):

```

```

161         m=liste[i].copy()
162         m*=k
163         liste.append(m)
164     return liste
165
166
167
168     ##Tri la liste de enum periode
169 def tri(liste_totale,matrice_transition,N):
170     cpt=0
171     l=len(liste_totale)
172     while cpt<l:
173         mot=liste_totale[cpt]
174         long=len(mot)
175
176         liste=rotation2(mot,long,N)
177
178         for i in range(len(liste)):
179             if liste[i] in liste_totale and liste[i]!=mot :
180                 liste_totale.remove(liste[i])
181         cpt+=1
182         l=len(liste_totale)
183     listerep=liste_totale.copy()
184
185     for mot1 in liste_totale :
186
187         if not(admissible(mot1,matrice_transition,len(mot1))):
188             listerep.remove(mot1)
189
190     return listerep
191
192 def liste_div(n):
193     l=[]
194     for i in range(2,n//2+1):
195         if n%i==0:
196             l.append(i)
197     return l
198
199
200 def repere_periode_primitive(mot):
201     n=len(mot)
202     if n<=3:
203         return mot
204     liste_diviseurs=liste_div(n)
205     for k in liste_diviseurs :
206         if (n//k)*mot[:k]==mot:
207             return mot[:k]

```

```

208     return mot
209
210
211 ##Fonction de traage de cercle
212
213 def trace_cercle(x1,x2,r):
214      #(x1,x2) le centre du cercle a tracer
215      #r son rayon
216     theta=np.linspace(0,2*np.pi,100)
217     xx1=x1+r*np.cos(theta)
218     xx2=x2+r*np.sin(theta)
219     plt.plot(xx1,xx2)
220
221 ##Fonction qui trace les obstacles
222
223 def trace_obstacles(obstacles,Rayons):
224      #obstacles est la liste des centres des obstacles
225      #Rayons est la liste des rayons respectifs des obstacles
226     for i in range(len(obstacles)):
227         trace_cercle(*obstacles[i],Rayons[i])
228         plt.text(*obstacles[i],str(i),color='black')
229     plt.axis('equal')
230
231 ##Fonction qui trace un segment entre deux points
232
233 def trace_segment(point1,point2):
234      #point1 est la premiere extremite du segment
235      #point2 est la seconde extremite du segment
236     a,b=point1
237     c,d=point2
238     plt.plot(np.array((a,c)),np.array((b,d)),color='purple')
239
240 ##Fonction qui trace un segment entre deux points
241
242 def trace_segment3(a,b,c,d,colori):
243      #point1 est la premiere extremite du segment
244      #point2 est la seconde extremite du segment
245     plt.plot(np.array((a,c)),np.array((b,d)),color=colori)
246
247 ##Fonction qui trace un segment entre deux points en pointille
248
249 def trace_segment2(point1,point2):
250      #point1 est la premiere extremite du segment
251      #point2 est la seconde extremite du segment
252     a,b=point1
253     c,d=point2
254     plt.plot(np.array((a,c)),np.array((b,d)),'r--',color='orange')

```

```

255
256
257 ##Fonction qui trace la periode
258
259
260 def trace_periode(liste_rep,obstacles,Rayons):
261     #liste_rep est sous la forme [x_0,y_0,...,x_k,y_k]
262     #obstacles est la liste des centres des obstacles
263     #Rayons est la liste des rayons respectifs des obstacles
264     if type(liste_rep)==type(True):
265         #print( 'mot non admissible')
266         return False
267     trace_obstacles(obstacles,Rayons)
268     long=len(liste_rep)
269     for i in range(int(long/2)):
270         trace_segment((liste_rep[2*(i%int(long/2))],liste_rep[2*(i%
271     ↪ int(long/2))+1]),(liste_rep[2*((i+1)%int(long/2))],liste_rep[2*
272     ↪ ((i+1)%int(long/2))+1]))
273     plt.plot(liste_rep[2*(i%int(long/2))],liste_rep[2*(i%int(long/2))+
274     ↪ 1],color='red',marker='o')
275     n1=np.array((liste_rep[2*((i-1)%int(long/2))],liste_rep[2*((i-1)%
276     ↪ int(long/2))+1]))-np.array((liste_rep[2*(i%int(long/2))],
277     ↪ liste_rep[2*(i%int(long/2))+1]))
278     n2=np.array((liste_rep[2*((i+1)%int(long/2))],liste_rep[2*((i+1)%
279     ↪ int(long/2))+1]))-np.array((liste_rep[2*(i%int(long/2))],
280     ↪ liste_rep[2*(i%int(long/2))+1]))
281     normal=np.linalg.norm(n1+n2)**(-1)*(n1+n2)
282     trace_segment2((liste_rep[2*(i%int(long/2))],liste_rep[2*(i%
283     ↪ int(long/2))+1]),np.array((liste_rep[2*(i%int(long/2))],
284     ↪ liste_rep[2*(i%int(long/2))+1])+0.2*normal))
285
286
287 ##Fonction qui trace toutes les periodes de longueur N et inferieur
288
289
290 def trace_periode_N(N,obstacles,rayons,matrice_transition):
291     #obstacles est la liste des centres des obstacles
292     #rayons est la liste des rayons respectifs des obstacles
293     #matrice_transition est la matrice de transition du systeme
294     p=len(obstacles)
295     liste_totale=enum_periode(N,p)
296     liste_totale=tri(liste_totale,matrice_transition,N)
297     for mot in tri(liste_totale,matrice_transition,N):
298         #long=len(mot)

```



```

291     liste_rep=projected_gradient_descent(mot,pas=0.001,
      ↪ matrice_transition=matrice_transition0,obstacles=obstacles0,
      ↪ rayons=rayons0,epsilon=1e-6,nbre_it=10000)
292     trace_periode(liste_rep,obstacles,rayons)
293 plt.show()
294
295 ##Fonction qui trace toutes les periodes de longueur N exactement
296
297 def trace_periode_N_exact(N,obstacles,rayons,matrice_transition):
298     #obstacles est la liste des centres des obstacles
299     #rayons est la liste des rayons respectifs des obstacles
300     #matrice_transition est la matrice de transition du systeme
301     p=len(obstacles)
302     liste_totale=enum_periode(N,p)
303     for mot in tri(liste_totale,matrice_transition,N):
304         long=len(mot)
305         if long==N:
306             liste_rep=projected_gradient_descent(mot,pas=0.001,
      ↪ matrice_transition=matrice_transition0,obstacles=obstacles0,
      ↪ rayons=rayons0,epsilon=1e-6,nbre_it=10000)
307             trace_periode(liste_rep,obstacles,rayons)
308     plt.show()
309
310
311
312 print("Trace des trajectoires de periode 3 et moins ")
313
314 trace_periode_N(3,obstacles0,rayons0,matrice_transition0)
315 plt.figure()
316
317 print("Trace des trajectoires de periode 5 ")
318
319 trace_periode_N_exact(5,obstacles0,rayons0,matrice_transition0)
320 plt.figure()

```

## C Calcul du coefficient de Lyapunov

```
1 import matplotlib.pyplot as plt
2 import numpy as np
3 import random as rd
4
5 ### Les centres des obstacles A, B, C ainsi que le rayon de chacune des ces
6 ↪ boules
7 A=(0.5,3**0.5/2)
8 B=(0,0)
9 C=(1,0)
10 Rayons=[0.25,0.25,0.25]
11
12 Noms=['A','B','C']
13 obstacles=[A,B,C]
14 ### Definition de la zone d'observation
15 Centre=(0.5,3**0.5/4)
16 u,v=Centre
17 Rlim=1.5
18
19 ## Tirage d'un point de depart et son angle de vitesse aleatoire qui ne se
20 ↪ trouve pas dans les disques obstacles
21
22
23 def test_tirage(x0,y0,obstacles,Rayons):# Teste si le point (x0,y0) se trouve
24 ↪ dans un des obstacles
25 #(x0,y0) est le point a tester
26 #obstacles est la liste des centres des obstacles
27 #Rayons est la liste des rayons respectifs des obstacles
28 for i in range(len(obstacles)) :
29     if np.linalg.norm(np.array(obstacles[i])-np.array((x0,
30 ↪ y0))))<Rayons[i]:
31         return True
32     return False
33
34 def tirage_traj_general(Rlim,obstacles,Centre,Rayons):
35 #Centre est le centre du domaine d'observation (c'est un carre de cote
36 ↪ 2*Rlim et de "centre" Centre !)
37 #Rlim est la demi longueur d'un cte du carre d'observation
38 #obstacles est la liste des centres des obstacles
39 #Rayons est la liste des rayons respectifs des obstacles
40 u,v=Centre
41 a=rd.uniform(u-Rlim,v+Rlim)
```

```

41     b=rd.uniform(u-Rlim,v+Rlim)
42     alpha=rd.uniform(-np.pi,np.pi)
43
44     while test_tirage(a,b,obstacles,Rayons) :
45         a=rd.uniform(u-Rlim,v+Rlim)
46         b=rd.uniform(u-Rlim,v+Rlim)
47
48     return a,b,alpha
49
50     ##Fonction de traage des obstacles la fonction trace un cercle de centre
51     ↪ (x1,x2) et de rayon r
52
53     def trace_cercle(x1,x2,r):
54          #(x1,x2) le centre du cercle a tracer
55          #r son rayon
56         theta=np.linspace(0,2*np.pi,100)
57         xx1=x1+r*np.cos(theta)
58         xx2=x2+r*np.sin(theta)
59         plt.plot(xx1,xx2)
60
61     ##Calcul de l'intersection de la trajectoire avec la zone limite
62     ↪ d'observation
63
64     def calculator_infini(x0,y0,alpha,Centre,Rlim):
65          #(x0,y0) sont les coordonnees du point de depart
66          #alpha est l'angle de la trajectoire (en radian dans ]-pi,pi])
67          #Centre est le centre du domaine d'observation (c'est un carre de cote
68          ↪ 2*Rlim et de "centre" Centre !)
69          #Rlim est la demi longueur d'un cte du carre d'observation
70         u,v=Centre
71         intersec=[]
72         x1=(v+Rlim-y0)/np.tan(alpha)+x0
73         if x1>=u-Rlim and x1<=u+Rlim :
74             intersec.append((x1,v+Rlim))
75         x2=(v-Rlim-y0)/np.tan(alpha)+x0
76         if x2>=u-Rlim and x2<=u+Rlim :
77             intersec.append((x2,v-Rlim))
78         y3=np.tan(alpha)*(u+Rlim-x0)+y0
79         if y3>=v-Rlim and y3<=v+Rlim :
80             intersec.append((u+Rlim,y3))
81         y4=np.tan(alpha)*(u-Rlim-x0)+y0
82         if y4>=v-Rlim and y4<=v+Rlim :
83             intersec.append((u-Rlim,y4))
84         bordx0,bordy0=intersec[0]
85         ps=np.cos(alpha)*(bordx0-x0)+np.sin(alpha)*(bordy0-y0)
86         if ps>=0:
87             return intersec[0]

```

```

85     return intersec[1]
86
87     ##Fonction qui trace un segment entre deux points
88
89     def trace_segment(point1,point2,color1):
90         #point1 est la premiere extremite du segment
91         #point2 est la seconde extremite du segment
92         a,b=point1
93         c,d=point2
94         plt.plot(np.array((a,c)),np.array((b,d)),color=color1)
95
96     ##Fonction qui trace les obstacles
97
98     def trace_obstacles(obstacles,Noms,Rayons):
99         #obstacles est la liste des centres des obstacles
100        #Noms est la liste des noms respectifs des obstacles
101        #Rayons est la liste des rayons respectifs des obstacles
102        for i in range(len(obstacles)):
103            trace_cercle(*obstacles[i],Rayons[i])
104            plt.text(*obstacles[i],Noms[i],color='black')
105        plt.axis('equal')
106
107    ##Fonction qui remet un angle dans ]-pi,pi]
108
109    def remet_le(angle):
110        #angles est un angle en radian
111        while angle<=-np.pi:
112            angle+=2*np.pi
113        while angle>np.pi:
114            angle-=2*np.pi
115        return angle
116
117
118    ##Calcul de l'angle de rebond sur un obstacle circulaire
119
120    def angle_reflexion(a1,a2,xc,yc,alpha):
121         #(a1,a2) est le centre du cercle
122         #(xc,yc) est un point sur le cercle
123         #alpha est l'angle de la trajectoire (en radian dans ]-pi,pi] )
124        return (remet_le(np.pi+2*np.arctan((a2-yc)/(a1-xc))-alpha))
125
126    ##Fonction qui calcule l'intersection entre la trajectoire et un des
127    ↪ obstacles(elle renvoie aussi quel est l'obstacle), elle renvoie "infini"
128    ↪ si il n'y en a pas
129
130    def calculator(obstacles,Rayons,x0,y0,alpha,delta):
131        #obstacles est la liste des centres des obstacles

```

```

130  #Rayons est la liste des rayons respectifs des obstacles
131  #(x0,y0) sont les coordonnees du point de depart
132  #alpha est l'angle de la trajectoire (en radian dans ]-pi,pi] )
133  #delta est un parametre qui est propre a cette fonction et a la fonction
    ↪ suivante
134  #Centre est le centre du domaine d'observation (c'est un carre de cote
    ↪ 2*Rlim et de "centre" Centre !)
135  #Rlim est la demi longueur d'un cte du carre d'observation
136  contact="infini"
137  record="infini"
138  boule="Pas de boule touchee"
139  for i in range(len(obstacles)) :
140      a1,a2=obstacles[i]
141      if abs(np.sin(alpha)*(a1-x0)-np.cos(alpha)*(a2-y0)) < Rayons[i] and
    ↪ np.cos(alpha)*(a1-x0)+np.sin(alpha)*(a2-y0)>delta:
142          a=1+np.tan(alpha)**2
143          b=-2*a1-2*(np.tan(alpha)**2)*x0+2*np.tan(alpha)*(y0-a2)
144          c=a1**2+(x0**2)*np.tan(alpha)**2-2*np.tan(alpha)*x0*(y0-a2)+(y0-
    ↪ a2)**2-Rayons[i]**2
145          det=b**2-4*a*c
146          racine1=(-b-np.sqrt(det))/(2*a)
147          racine2=(-b+np.sqrt(det))/(2*a)
148          y1=np.tan(alpha)*(racine1-x0)+y0
149          y2=np.tan(alpha)*(racine2-x0)+y0
150          if np.linalg.norm(np.array([x0,y0])-np.array([racine1,
    ↪ y1]))<np.linalg.norm(np.array([x0,y0])-np.array([racine2,
    ↪ y2])):
151              contact=(racine1,y1)
152          else :
153              contact=(racine2,y2)
154          if record=="infini" :
155              record=contact
156              boule=obstacles[i]
157          elif np.linalg.norm(np.array((x0,y0))-
    ↪ np.array(record))>np.linalg.norm(np.array((x0,y0))-
    ↪ np.array(contact)):
158              record=contact
159              boule=obstacles[i]
160          #print(record)
161  return record,boule
162
163
164  ##Fonction qui trace le segment entre le depart et l'intersection avec un
    ↪ obstacle ou la limite de la zone d'observation
165
166  def avance(obstacles,Rayons,x0,y0,alpha,delta,Centre,Rlim,color):
167      #obstacles est la liste des centres des obstacles

```

```

168     #Rayons est la liste des rayons respectifs des obstacles
169     #(x0,y0) sont les coordonnees du point de depart
170     #alpha est l'angle de la trajectoire (en radian dans ]-pi,pi] )
171     #delta est un parametre qui est propre a cette fonction et a la fonction
    ↪ suivante
172     contact,_=calculator(obstacles,Rayons,x0,y0,alpha,delta)
173     if contact=='infini' :
174         trace_segment((x0,y0),calculator_infini(x0,y0,alpha,Centre,Rlim),
    ↪ color)
175
176     else:
177         trace_segment((x0,y0),contact,color)
178         #plt.plot(*contact,color='red',marker='o')
179
180 ##Fonction qui affiche la trajectoire d'un point sur le billard a partir d'un
    ↪ point et une direction de depart aleatoire
181
182 def rebond(obstacles,Rayons,Noms,Centre,Rlim):
183     #obstacles est la liste des centres des obstacles
184     #Rayons est la liste des rayons respectifs des obstacles
185     #Noms est la liste des noms respectifs des obstacles
186     #Centre est le centre du domaine d'observation (c'est un carre de cote
    ↪ 2*Rlim et de "centre" Centre !)
187     #Rlim est la demi longueur d'un cte du carre d'observation
188     trace_obstacles(obstacles,Noms,Rayons)
189     x0,y0,alpha=tirage_traj_general(Rlim,obstacles,Centre,Rayons)
190     print(x0,y0,alpha)
191     plt.plot(x0,y0,color='red',marker='o')
192     u,boule=calculator(obstacles,Rayons,x0,y0,alpha,0)
193     n=0
194     avance(obstacles,Rayons,x0,y0,alpha,0,Centre,Rlim)
195     while u != 'infini' and n<20 :
196         a1,a2=boule
197         x0,y0,alpha=*u,angle_reflexion(a1,a2,*u,alpha)
198         u,boule=calculator(obstacles,Rayons,x0,y0,alpha,1e-6)
199         avance(obstacles,Rayons,x0,y0,alpha,1e-6,Centre,Rlim)
200         print("trajectoire:  x = ",u[0]," y = ",u[1]," alpha = ",u[2])
201         n+=1
202     avance(obstacles,Rayons,x0,y0,alpha,0,Centre,Rlim)
203     plt.show()
204
205 ##Fonction qui affiche la trajectoire d'un point sur le billard a partir d'un
    ↪ point et une direction de depart choisie
206
207 def rebond_deterministe(x0,y0,alpha,obstacles,Rayons,Noms,Centre,Rlim,color):
208     #(x0,y0) sont les coordonnees du point de depart
209     #alpha est l'angle de la trajectoire (en radian dans ]-pi,pi] )

```

```

210     #obstacles est la liste des centres des obstacles
211     #Rayons est la liste des rayons respectifs des obstacles
212     #Noms est la liste des noms respectifs des obstacles
213     #Centre est le centre du domaine d'observation (c'est un carre de cote
    ↪ 2*Rlim et de "centre" Centre !)
214     #Rlim est la demi longueur d'un cte du carre d'observation
215     trace_obstacles(obstacles,Noms,Rayons)
216     plt.plot(x0,y0,color='orange',marker='o')
217     u,boule=calculator(obstacles,Rayons,x0,y0,alpha,0)
218     n=0
219     avance(obstacles,Rayons,x0,y0,alpha,0,Centre,Rlim,color)
220     while u != 'infini' and n<20 :
221         a1,a2=boule
222         x0,y0,alpha=*u,angle_reflexion(a1,a2,*u,alpha)
223         #print('on repart   :',x0,y0,alpha)
224         u,boule=calculator(obstacles,Rayons,x0,y0,alpha,1e-10)
225         avance(obstacles,Rayons,x0,y0,alpha,1e-10,Centre,Rlim,color)
226         #print(u)
227         n+=1
228     avance(obstacles,Rayons,x0,y0,alpha,0,Centre,Rlim,color)
229
230
231 ##Fonction qui affiche la trajectoire d'un point sur le billard a partir d'un
    ↪ point et une direction de depart aleatoire parmi celles qui
    ↪ s'intersectent au moins une fois
232
233 def rebond_bon(obstacles,Rayons,Noms,Centre,Rlim,color):
234     #alpha est l'angle de la trajectoire (en radian dans ]-pi,pi] )
235     #obstacles est la liste des centres des obstacles
236     #Rayons est la liste des rayons respectifs des obstacles
237     #Noms est la liste des noms respectifs des obstacles
238     #Centre est le centre du domaine d'observation (c'est un carre de cote
    ↪ 2*Rlim et de "centre" Centre !)
239     #Rlim est la demi longueur d'un cte du carre d'observation
240     trace_obstacles(obstacles,Noms,Rayons)
241     x0,y0,alpha=tirage_traj_general(Rlim,obstacles,Centre,Rayons)
242     u,boule=calculator(obstacles,Rayons,x0,y0,alpha,0)
243     while u=='infini':
244         x0,y0,alpha=tirage_traj_general(Rlim,obstacles,Centre,Rayons)
245         u,boule=calculator(obstacles,Rayons,x0,y0,alpha,0)
246     plt.plot(x0,y0,color='orange',marker='o')
247     print("trajectoire:  x = ",x0," y = ",y0," alpha = ",alpha)
248     n=0
249     avance(obstacles,Rayons,x0,y0,alpha,0,Centre,Rlim,color)
250     while u != 'infini' and n<20 :
251         a1,a2=boule
252         x0,y0,alpha=*u,angle_reflexion(a1,a2,*u,alpha)

```

```

253     u,boule=calculator(obstacles,Rayons,x0,y0,alpha,1e-6)
254     avance(obstacles,Rayons,x0,y0,alpha,1e-6,Centre,Rlim,color)
255     #print(u)
256     n+=1
257     avance(obstacles,Rayons,x0,y0,alpha,0,Centre,Rlim,color)
258     plt.show()
259
260 ##Fonction qui affiche la trajectoire d'un point sur le billard a partir d'un
261 ↪ point et une direction de depart aleatoire parmi celles qui
262 ↪ s'intersectent au moins n fois
263
264 ##Fonction de comptage de rebonds
265
266 def compte_rebonds(x0,y0,alpha,obstacles,Rayons):
267      #(x0,y0) sont les coordonnees du point de depart
268      #alpha est l'angle de la trajectoire (en radian dans ]-pi,pi] )
269      #obstacles est la liste des centres des obstacles
270      #Rayons est la liste des rayons respectifs des obstacles
271     u,boule=calculator(obstacles,Rayons,x0,y0,alpha,0)
272     n=0
273     while u != 'infini' and n<100:
274         a1,a2=boule
275         x0,y0,alpha=*u,angle_reflexion(a1,a2,*u,alpha)
276         u,boule=calculator(obstacles,Rayons,x0,y0,alpha,1e-6)
277         n+=1
278     return n
279
280 ##Fonction qui trouve et trace une trajectoire avec au moins n rebonds
281
282 def n_rebonds_svp(obstacles,Noms,Rayons,n,Centre,Rlim,color):
283      #obstacles est la liste des centres des obstacles
284      #Rayons est la liste des rayons respectifs des obstacles
285      #Noms est la liste des noms respectifs des obstacles
286      #Nombre minimal de rebonds sur les obstacles desires
287      #Centre est le centre du domaine d'observation (c'est un carre de cote
288      ↪ 2*Rlim et de "centre" Centre !)
289      #Rlim est la demi longueur d'un cte du carre d'observation
290     trace_obstacles(obstacles,Noms,Rayons)
291     x0,y0,alpha=tirage_traj_general(Rlim,obstacles,Centre,Rayons)
292     while compte_rebonds(x0,y0,alpha,obstacles,Rayons)<n:
293         x0,y0,alpha=tirage_traj_general(Rlim,obstacles,Centre,Rayons)
294         print(" x = ",x0," y = ",y0," alpha = ",alpha)
295         print("nb_rebond",compte_rebonds(x0,y0,alpha,obstacles,Rayons))
296         plt.plot(x0,y0,color='orange',marker='o')
297         u,boule=calculator(obstacles,Rayons,x0,y0,alpha,0)
298         n=0

```



```

297     avance(obstacles, Rayons, x0, y0, alpha, 0, Centre, Rlim, color)
298     while u != 'infini' and n < 20 :
299         a1, a2 = boule
300         x0, y0, alpha = *u, angle_reflexion(a1, a2, *u, alpha)
301         #print('on repart :', x0, y0, alpha)
302         u, boule = calculator(obstacles, Rayons, x0, y0, alpha, 1e-10)
303         avance(obstacles, Rayons, x0, y0, alpha, 1e-10, Centre, Rlim, color)
304         #print(u)
305         n += 1
306     avance(obstacles, Rayons, x0, y0, alpha, 0, Centre, Rlim, color)
307
308
309
310
311     #n_rebonds_svp(obstacles, Noms, Rayons, 6, Centre, Rlim)
312
313
314     ###Rajoutons des obstacles
315
316
317     o_1 = (-0.5, 3**0.5/2)
318     o_2 = (0.5, 3**0.5/2)
319     o_3 = (-1, 0)
320     o_4 = (0, 0)
321     o_5 = (1, 0)
322     o_6 = (-0.5, -3**0.5/2)
323     o_7 = (0.5, -3**0.5/2)
324
325     Noms2 = [str(i) for i in range(1, 8)]
326     obstacles2 = [o_1, o_2, o_3, o_4, o_5, o_6, o_7]
327     Centre2 = (0, 0)
328     Rlim2 = 1.5
329     Rayons2 = [0.25 for i in range(7)]
330     Rayons3 = [0.3, 0.35, 0.3, 0.4, 0.2, 0.25, 0.15]
331
332
333
334
335     #n_rebonds_svp(obstacles2, Noms2, Rayons3, 23, Centre2, Rlim2)
336
337
338     #Le point de depart est en orange
339     #Le point de sortie de la trajectoire est l'extremite non marquee
340
341     #rebond_deterministe(-0.14771195289118022, 0.41724651296907145,
    ↪ 0.47435283021459895, obstacles, Rayons, Noms, Centre, Rlim)

```

```

342 #rebond_deterministe(-0.14771195289118022,0.41724651296907145,0.48,
    ↪ obstacles, Rayons, Noms, Centre, Rlim)
343 #Pour lancer un point (x0,y0) avec un angle alpha donne
344
345 print("Voici une trajectoire d'au moins 8 rebonds : " )
346 n_rebonds_svp(obstacles, Noms, Rayons, 8, Centre, Rlim, 'red')
347 plt.figure()
348 plt.show()
349
350 ##fonction qui trace deux trajectoires l'une en bleue l'autre en rouge
351
352 def trace_rebonds_deterministe(a,b,c,d,e,f,obstacles, Rayons, Noms, Centre,
    ↪ Rlim):
353     rebond_deterministe(a,b,c,obstacles, Rayons, Noms, Centre, Rlim, "red")
354     print("1 :", compte_rebonds(a,b,c,obstacles, Rayons))
355     rebond_deterministe(d,e,f,obstacles, Rayons, Noms, Centre, Rlim, "blue")
356     print("2 :", compte_rebonds(d,e,f,obstacles, Rayons))
357     plt.show()
358
359
360
361
362 print("Voici deux trajectoires proches l'une de l'autre : ")
363
364 trace_rebonds_deterministe(0.667482841472288, 0.10452278926045411,
    ↪ 0.10098578721700369,0.667482841472288, 0.10452278926045411,
    ↪ 0.10098578721700369+10**(-5),obstacles, Rayons, Noms, Centre, Rlim)
365 plt.figure()

```

## Références

- [BL85] Philippe Bougerol and Jean Lacroix. *Products of random matrices with applications to Schrödinger operators*, volume 8 of *Progress in Probability and Statistics*. Birkhäuser Boston, Inc., Boston, MA, 1985.
- [Che11] Chevallier. Dcalages et systmes dynamiques associs aux suites. 2011.
- [CM06] Nikolai Chernov and Roberto Markarian. *Chaotic billiards*, volume 127 of *Mathematical Surveys and Monographs*. American Mathematical Society, Providence, RI, 2006.
- [GR89] Pierre Gaspard and Stuart A. Rice. Scattering from a classically chaotic repellor. *The Journal of Chemical Physics*, 90(4):2225–2241, 1989.
- [Rob95] Clark Robinson. *Dynamical systems. Stability, symbolic dynamics, and chaos*. Boca Raton, FL: CRC Press, 1995.
- [Wil17] Amie Wilkinson. What are Lyapunov exponents, and why are they interesting? *Bull. Am. Math. Soc., New Ser.*, 54(1):79–105, 2017.